



ANAS S.p.A.

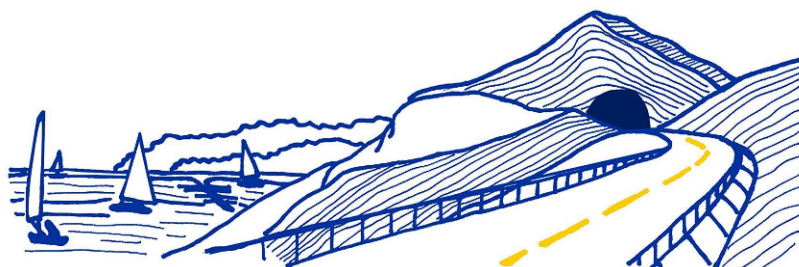
Direzione Progettazione e Realizzazione Lavori

VARIANTE ALLA S.S.1 AURELIA (AURELIA BIS)  
VIABILITA' DI ACCESSO ALL' HUB PORTUALE DI LA SPEZIA  
INTERCONNESSIONE TRA I CASELLI DELLA A-12 E IL PORTO DI LA SPEZIA  
3° LOTTO TRA FELETTINO E IL RACCORDO AUTOSTRADALE

PROGETTO ESECUTIVO DI STRALCIO E COMPLETAMENTO C - 3° TRATTO

PROGETTO ESECUTIVO

GE265



VISTO: IL RESPONSABILE  
DEL PROCEDIMENTO

RESPONSABILE  
DELL'INTEGRAZIONE DELLE  
PRESTAZIONI SPECIALISTICHE

PROGETTISTA SPECIALISTA

IL COORDINATORE DELLA  
SICUREZZA IN FASE DI  
PROGETTAZIONE

Ing. Fabrizio CARDONE

Ing. Alessandro RODINO

Ing. Paolo Alberto COLETTI

Dott. Domenico TRIMBOLI

**OPERE MINORI**  
**OPERE DI SOSTEGNO: MURI**  
**SVINCOLO DI MELARA - VIABILITA' LOCALE**  
**MURO DI SOSTEGNO PREFABBRICATO IN SX RAMPA Z (MU51)**  
**RELAZIONE DI CALCOLO**

CODICE PROGETTO

NOME FILE

REVISIONE

SCALA:

PROGETTO

LIV. PROG. N. PROG.

0000\_V04OM130STRRE01\_B

DPGE0265

E

20

CODICE  
ELAB.

V04OM13STRRE01

B

-

REV.	DESCRIZIONE	DATA	REDATTO	VERIFICATO	APPROVATO
C					
B	EMISSIONE A SEGUITO ISTRUTTORIA ANAS	Marzo 2021	M. Barale	A. Rodino	D. Morgera
A	EMISSIONE	Marzo 2021	M. Barale	A. Rodino	D. Morgera

INDICE	pag.
1. INTRODUZIONE.....	1
2. NORMATIVE DI RIFERIMENTO .....	3
3. CARATTERISTICHE DEI MATERIALI.....	5
3.1 Calcestruzzo .....	5
3.1.1 Calcestruzzo prefabbricato per pannelli – C35/45 .....	5
3.1.2 Calcestruzzo in opera per suola di stabilizzazione – C25/30.....	5
3.1.3 Calcestruzzo in opera per piano d'appoggio – C16/20.....	5
3.2 Acciaio B450C .....	5
4. PARAMETRI GEOTECNICI .....	6
4.1 Terreno di riempimento.....	6
4.2 Terreno di fondazione .....	6
5. CARATTERIZZAZIONE DELLA STRUTTURA.....	7
6. CLASSIFICAZIONE DELLE AZIONI .....	8
6.1 Azioni permanenti (G) .....	8
6.2 Azioni variabili (Q).....	8
6.3 Azioni eccezionali (E).....	8
6.4 Azioni sismiche (E) .....	8
7. COMBINAZIONI DELLE AZIONI .....	9
7.1 Combinazioni SLU .....	9
7.2 Combinazioni SLE.....	9
8. CARATTERISTICHE GEOMETRICHE DEL MURO.....	10
8.1 Muro di altezza fino a 8.80 m.....	10
9. VERIFICHE DI STABILITÀ E VERIFICHE STRUTTURALI -SLU .....	11
9.1 Verifica a capacità portante.....	11
10. COEFFICIENTI SULLE AZIONI .....	14
11. COEFFICIENTI SUI MATERIALI .....	15
12. COEFFICIENTI SULLE RESISTENZE .....	16

13. VERIFICHE S.L.E.....	17
13.1 Verifica a fessurazione.....	17
13.2 Verifica delle tensioni di esercizio.....	17
14. VERIFICHE PANNELLO PREFABBRICATO.....	19
14.1 Verifica a flessione nel piano verticale.....	19
14.2 Verifica a flessione nel piano orizzontale.....	19
14.3 Verifica a taglio.....	20
15. SOLETTA DI FONDAZIONE.....	21
15.1 Verifica a flessione.....	21
16. VERIFICHE DI STABILITÀ GLOBALE MURO-TERRENO.....	22
16.1 Metodo di analisi.....	22
16.2 Condizioni di carico.....	23
16.3 Descrizione combinazioni di carico.....	23
16.4 Risultati delle analisi.....	24
ALLEGATO A: SEZIONE 1 – H=2.75M.....	26
ALLEGATO B: SEZIONE 2 – H=3.85M.....	36
ALLEGATO C: SEZIONE 3 – H=4.40M.....	45
ALLEGATO D: SEZIONE 4 – H=4.95M.....	54
ALLEGATO E: SEZIONE 5 – H=5.50M.....	63
ALLEGATO F: SEZIONE 6 – H=6.60M.....	72

## 1. Introduzione

La presente Relazione viene redatta nell'ambito del Contratto applicativo per la progettazione esecutiva dell'intervento S.S. 1 "Lavori di costruzione della variante alla S.S. 1 Aurelia (Aurelia bis), viabilità di accesso all'HUB portuale di La Spezia, interconnessione tra i caselli della A 12 e il porto di La Spezia – 3. lotto tra Felettino ed il raccordo autostradale - Progetto Esecutivo di stralcio e completamento C – 3. tratto".

Lo "Stralcio C" inizia appena prima della spalla Nord del Viadotto "San Severio II", indicativamente alla Progressiva km 2+780 (ex Sez. N. 140).

Nel tratto iniziale è presente il viadotto "San Venerio II" (L=114m) e lo svincolo di San Venerio. Successivamente il tracciato prosegue con tre gallerie, intervallate da due brevi tratti in sede naturale: la galleria artificiale "Felettino II" (L=191,30 m), la galleria naturale "Felettino III" (L=245 m) e la galleria naturale "Fornaci I" (L=447.34 m).

Successivamente, nel tratto terminale, sono previste le rampe dello svincolo "Melara" di collegamento col "Raccordo autostradale". Delle rampe che si dipartono dalla galleria artificiale "Fornaci II", due proseguono in galleria naturale: galleria naturale "Fornaci III" (L=86.50 m) e "Fornaci IV" (L=165 m). Successivamente le rampe si innalzano per portarsi alla quota del viadotto autostradale esistente, al quale si vanno ad affiancare con viadotti che realizzano le corsie di entrata ed uscita al Raccordo autostradale.

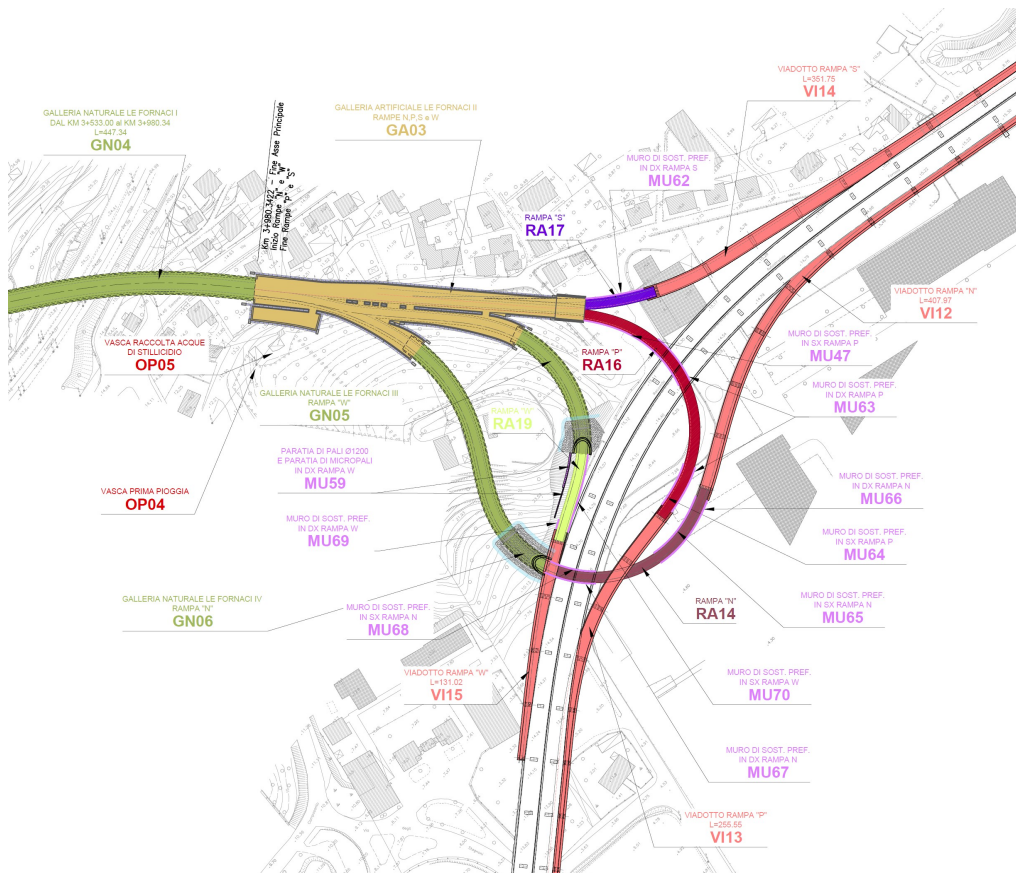
Nella l'ambito dello svincolo finale di Melara è da realizzare una generale rivisitazione della viabilità locale che interferisce con i lavori.

Sia per la realizzazione delle rampe dello svincolo Melara che per la realizzazione della viabilità locale sono da realizzare un numero elevato di muri di sostegno delle terre, comunque tutti di modesta altezza, oggetto della presente relazione.

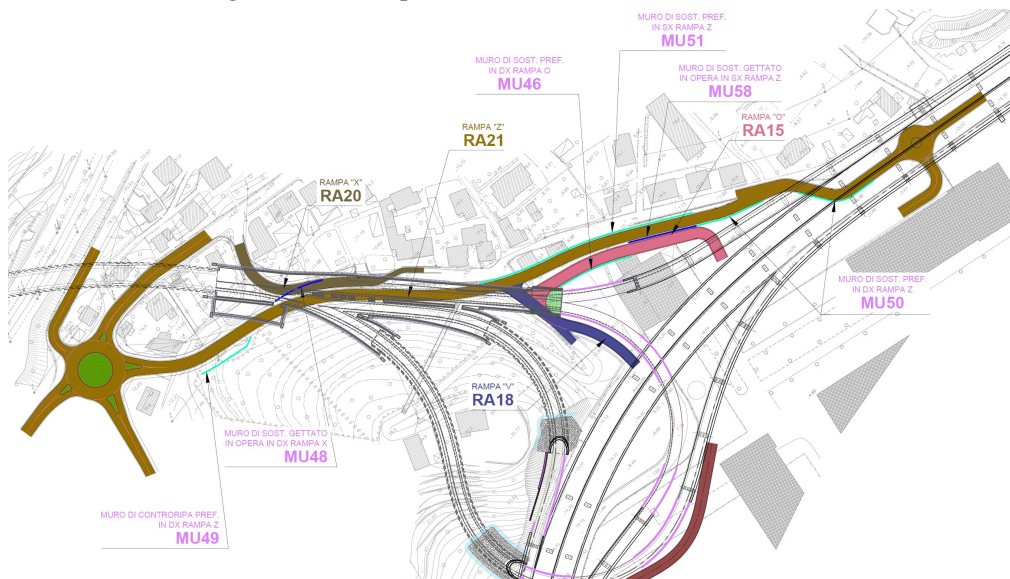
Già nei precedenti livelli di progettazione si era ricorso diffusamente a soluzioni in prefabbricato. L'impostazione progettuale è stata mantenuta anche perché alcuni muri in parte sono stati realizzati e sono da completare.

In sede esecutiva l'impresa appaltatrice potrà scegliere il fornitore delle strutture, che dovranno essere approvate e accette dalla Direzione dei lavori. In tale sede l'impresa di prefabbricazione dovrà presentare tutta la documentazione tecnica necessaria per l'approvazione.

Nel seguito si riportano gli stralci planimetrici con indicazione delle strutture previste.



**Figura 1: Stralcio planimetrico dello Svincolo Melara.**



**Figura 2: Stralcio planimetrico della viabilità secondaria.**

## 2. Normative di riferimento

Con riferimento al quadro normativo di riferimento progettuale per le strutture, si evidenzia che, il D.M. 17/01/2018 “Aggiornamento delle «Norme tecniche per le costruzioni»”, prevede, all’Art. 2 “Ambito di applicazione e disposizioni transitorie”, che *“per le opere pubbliche o di pubblica utilità in corso di esecuzione, per i contratti pubblici di lavori già affidati, nonché per i progetti definitivi o esecutivi già affidati prima della data di entrata in vigore delle norme tecniche per le costruzioni, si possono continuare ad applicare le previgenti norme tecniche per le costruzioni fino all’ultimazione dei lavori ed al collaudo statico degli stessi”*.

Pertanto, essendo l’attività da svolgere il progetto di completamento di opere già parzialmente realizzate il riferimento normativo di riferimento restano le Norme tecniche per le costruzioni» di cui al Decreto Ministeriale 14 gennaio 2008.

Per quanto sopra la normativa di riferimento per il calcolo e la verifica delle strutture risulta essere la seguente:

- Decreto 14 gennaio 2008 "Norme tecniche per le costruzioni".
- Circolare Ministero Infrastrutture e Trasporti n. 617 del 2 Febbraio 2009 - “Istruzioni per l’applicazione delle Nuove Norme Tecniche per le costruzioni di cui al decreto ministeriale 14 Gennaio 2008”.
- Legge 5 novembre 1971, n. 1086 - Norme per la disciplina delle opere in conglomerato cementizio armato normale e precompresso ed a struttura metallica.
- Circolare Ministero dei Lavori pubblici 14 febbraio 1974, n.11951 – Applicazione delle norme sul cemento armato.
- Calcestruzzo - specificazione, prestazione, produzione e conformità (UNI EN 206-1:2006);
- D.M. LL. PP. 11 marzo 1988 “Norme tecniche riguardanti le indagini sui terreni e sulle rocce, la stabilità dei pendii naturali e delle scarpate, i criteri generali e le prescrizioni per la progettazione, l’esecuzione ed il collaudo delle opere di sostegno delle terre e delle opere di fondazione” e le relative istruzioni (Circolare Ministero Lavori Pubblici 24 settembre 1988, N. 30483 - Circolare Ministero Lavori Pubblici 9 gennaio 1996, N. 218/24/3).
- D.M. LL. PP. 14 febbraio 1992 “Norme tecniche per l’esecuzione delle opere in cemento armato normale e precompresso e per le strutture metalliche” e le relative istruzioni (Circolare Ministero Lavori Pubblici 24 giugno 1993, N. 37406/STC).
- D.M. LL. PP. 9 gennaio 1996 “Norme tecniche per il calcolo, l’esecuzione ed il collaudo delle strutture in cemento armato, normale e precompresso e per le strutture metalliche” e le relative istruzioni (Circolare Ministero Lavori Pubblici 15 ottobre 1996, N. 252).

- D.M. LL. PP. 16 gennaio 1996 “Norme tecniche relative ai «Criteri generali per la verifica di sicurezza delle costruzioni e dei carichi e dei sovraccarichi»” e le relative istruzioni (Circolare Ministero Lavori Pubblici 4 luglio 1996, N. 156AA.GG./STC).
- Legge 2 Febbraio 1974 n° 64 - “Provvedimenti per le costruzioni con particolari prescrizioni per le zone sismiche”.
- D.M. LL. PP. 16/01/1996 “Norme tecniche per le costruzioni in zone sismiche” e le relative istruzioni (Circolare Ministero L. P. Pubblici 10/04/1997, N. 65/AA.GG.).
- Ordinanza n. 3274 20 marzo 2003 della Presidenza del Consiglio dei Ministri “Primi elementi in materia di criteri generali per la classificazione sismica del territorio nazionale e normative tecniche per le costruzioni in zona sismica” e s.m.i.
- Presidenza del Consiglio dei Ministri – Ordinanza n. 3519 del 28 Aprile 2006 - “Criteri generali per l’individuazione delle zone sismiche e per la formazione e l’aggiornamento degli elenchi delle medesime zone”.
- Circolare Ministero dei Lavori pubblici 14 febbraio 1974, n.11951 – Applicazione delle norme sul cemento armato.
- Calcestruzzo - specificazione, prestazione, produzione e conformità (UNI EN 206-1:2006).
- Eurocodici UNI EN 1990:2006; UNI EN 1991; UNI EN 1993; UNI EN 1994; UNI EN 1997; UNI EN 1998
- UNI EN 1992-1-1:2005 - EC 2: PROGETTAZIONE DELLE STRUTTURE DI CALCESTRUZZO;
- UNI EN 1992-1-2:2006 - EC 2 parte 2: CONCRETE BRIDGES (per quanto applicabile);
- MODEL CODE 90 CEB/FIP.

### 3. Caratteristiche dei materiali

#### 3.1 Calcestruzzo

##### 3.1.1 Calcestruzzo prefabbricato per pannelli – C35/45

resistenza caratteristica cilindrica	$f_{ck} =$	350	kg/cm <sup>2</sup>
resistenza caratteristica cubica	$f_{ck(c)} =$	450	kg/cm <sup>2</sup>
valore medio resistenza caratteristica cilindrica	$f_{cm} =$	430	kg/cm <sup>2</sup>
valore medio resistenza a trazione assiale	$f_{ctm} =$	32.1	kg/cm <sup>2</sup>
modulo di elasticità secante	$E_{cm} =$	340771	kg/cm <sup>2</sup>

##### 3.1.2 Calcestruzzo in opera per suola di stabilizzazione – C25/30

resistenza caratteristica cilindrica	$f_{ck} =$	250	kg/cm <sup>2</sup>
resistenza caratteristica cubica	$f_{ck(c)} =$	300	kg/cm <sup>2</sup>
valore medio resistenza caratteristica cilindrica	$f_{cm} =$	330	kg/cm <sup>2</sup>
valore medio resistenza a trazione assiale	$f_{ctm} =$	25.7	kg/cm <sup>2</sup>
modulo di elasticità secante	$E_{cm} =$	314758	kg/cm <sup>2</sup>

##### 3.1.3 Calcestruzzo in opera per piano d'appoggio – C16/20

resistenza caratteristica cilindrica	$f_{ck} =$	160	kg/cm <sup>2</sup>
resistenza caratteristica cubica	$f_{ck(c)} =$	200	kg/cm <sup>2</sup>
valore medio resistenza caratteristica cilindrica	$f_{cm} =$	240	kg/cm <sup>2</sup>
valore medio resistenza a trazione assiale	$f_{ctm} =$	19,05	kg/cm <sup>2</sup>
modulo di elasticità secante	$E_{cm} =$	286079	kg/cm <sup>2</sup>

#### 3.2 Acciaio B450C

Tensione caratteristica di snervamento	$f_{yk} =$	4500	kg/cm <sup>2</sup>
Tensione caratteristica di rottura	$f_{tk} =$	5400	kg/cm <sup>2</sup>



## 4. Parametri geotecnici

### 4.1 Terreno di riempimento

$\Phi = 32^\circ$	angolo di attrito interno
$\gamma = 1900 \text{ daN/mc}$	peso specifico del terreno
$c' = 0 \text{ daN/cm}^2$	coesione

### 4.2 Terreno di fondazione

$\Phi = 28^\circ$	angolo di attrito interno
$\gamma = 1800 \text{ daN/mc}$	peso specifico del terreno
$c' = 0 \text{ daN/cm}^2$	coesione

La falda si assume a profondità non significative per le verifiche dei muri.

## 5. Caratterizzazione della struttura

Secondo quanto prescritto dal D.M. 14/01/2008, ai fini delle verifiche di sicurezza di una struttura devono essere definiti i seguenti parametri:

- VITA NOMINALE: vista l'importanza strategica dell'opera si considera  $VN \geq 50$  anni;
- CLASSE D'USO : III
- PERIODO DI RIFERIMENTO (per l'azione sismica): 75 anni.

## 6. Classificazione delle azioni

### 6.1 Azioni permanenti (G)

- Pesi Propri : prefabbricato, fondazione e terreno sulla fondazione;
- Spinte del terreno: l'interazione terreno-struttura è tale da consentire che si sviluppi un regime di spinta attiva.

### 6.2 Azioni variabili (Q)

- Sovraccarico accidentale dovuto alla presenza di veicoli di 2000 daN/mq (Q1).

### 6.3 Azioni eccezionali (E)

- Azione d'urto del mezzo in svio: si considera l'azione di collisione accidentale dei mezzi sopra i ponti pari a 100 kN agente 1.00 m sopra la testa muro, diffusa su almeno 4 pannelli dal cordolo gettato in opera.

### 6.4 Azioni sismiche (E)

Parametri sismici adottati :

- |   |          |
|---|----------|
| • TEMPO DI RITORNO :                        | 712 anni |
| • CATEGORIA SOTTOSUOLO :                    | B        |
| • CATEGORIA TOPOGRAFICA :                   | T1       |
| • FATTORE DI AMPLIFICAZIONE TOPOGRAFICA :   | 1.0      |
| • FATTORE DI AMPLIFICAZIONE STRATIGRAFICA : | 1.2      |
| • ACC. ORIZZ. MASSIMA SU SITO RIGIDO:       | 0.142    |

## 7. Combinazioni delle azioni

Con riferimento al D.M. 14/01/2008 – par. 2.5.3 e tabella 2.5.I, si riportano i coefficienti di combinazione adottati:

### 7.1 Combinazioni SLU

COMBINAZIONE	PERMANENTI		ACCIDENTALI		VENTO		SISMA		URTO	
	$\gamma$	$\psi$	$\gamma$	$\psi$	$\gamma$	$\psi$	$\gamma$	$\psi$	$\gamma$	$\psi$
Comb A1+M1	1.3	1.0	1.5	1.0	1.5	0.6	0.0	0.0	0.0	0.0
Comb A1+M1	1.3	1.0	1.5	0.7	1.5	1.0	0.0	0.0	0.0	0.0
Comb A2+M2	1.0	1.0	1.3	1.0	1.3	0.6	0.0	0.0	0.0	0.0
Comb A2+M2	1.0	1.0	1.3	0.7	1.3	1.0	0.0	0.0	0.0	0.0
Comb EQ	1.1	1.0	1.5	1.0	1.5	0.6	0.0	0.0	0.0	0.0
Comb EQ	1.1	1.0	1.5	0.7	1.5	1.0	0.0	0.0	0.0	0.0
Sisma (ag/g=0.142)	1.0	1.0	1.0	0.3	1.0	0.0	1.0	0.0	0.0	0.0
URTO	1.0	1.0	1.0	0.3	1.0	0.0	0.0	0.0	1.0	0.0

### 7.2 Combinazioni SLE

COMBINAZIONE	PERMANENTI		ACCIDENTALI		VENTO		SISMA		URTO	
	$\gamma$	$\psi$	$\gamma$	$\psi$	$\gamma$	$\psi$	$\gamma$	$\psi$	$\gamma$	$\psi$
RARA	1.0	1.0	1.0	1.0	1.0	0.6	0.0	0.0	0.0	0.0
FREQUENTE	1.0	1.0	1.0	0.5	1.0	0.2	0.0	0.0	0.0	0.0
Q. PERMANENTE	1.0	1.0	1.0	0.3	1.0	0.0	0.0	0.0	0.0	0.0

## 8. Caratteristiche geometriche del muro

### 8.1 Muro di altezza fino a 8.80 m

L'analisi viene condotta prendendo come riferimento un **elemento modulare prefabbricato di larghezza 2.50 m**, considerando il contributo delle **due nervature di irrigidimento** a tergo del paramento verticale.

Le nervature di irrigidimento di spessore 15/18 cm presentano un primo tratto a sezione costante di altezza  $h=30$  cm ed un secondo ad altezza variabile secondo un'inclinazione del 20% sulla verticale. Il paramento può essere verticale o inclinato fino ad un massimo del 10%, anche se a favore di sicurezza nel dimensionamento si considera sempre verticale. Le due nervature sono collegate fra loro da una soletta di spessore costante  $s=10$  cm.

I bordi presentano un giunto "a sella" maschio-femmina in modo da trattenere i materiali e da permettere il montaggio degli elementi anche seguendo una curva, sia concava che convessa.

Alla base del muro le nervature presentano ciascuna un'apertura trasversale per il passaggio delle armature della trave di collegamento che si realizza fra i pannelli; l'altezza dell'apertura viene determinata in base all'altezza della suola di stabilizzazione, assicurando un adeguato ricoprimento dell'armatura superiore della trave. I muri in oggetto sono tipo "T" dove il tipo di fondazione è sia a valle, sia a monte.

## 9. Verifiche di stabilità e verifiche strutturali -SLU

Secondo quanto riportato dal D.M. 14/01/2008 :

$$E_d \leq R_d \quad (6.2.1)$$

dove  $E_d$  è il valore di progetto dell'azione o dell'effetto dell'azione

$$E_d = E \left[ \gamma_F F_k; \frac{X_k}{\gamma_M}; a_d \right] \quad (6.2.2a)$$

ovvero

$$E_d = \gamma_E \cdot E \left[ F_k; \frac{X_k}{\gamma_M}; a_d \right], \quad (6.2.2b)$$

con  $\gamma_E = \gamma_F$ , e dove  $R_d$  è il valore di progetto della resistenza del sistema geotecnico:

$$R_d = \frac{1}{\gamma_R} R \left[ \gamma_F F_k; \frac{X_k}{\gamma_M}; a_d \right]. \quad (6.2.3)$$

Per i muri di sostegno o per altre strutture miste ad essi assimilabili devono essere effettuate le verifiche con riferimento almeno ai seguenti stati limite:

- *SLU di tipo geotecnico (GEO) e di equilibrio di corpo rigido (EQU)*
- stabilità globale del complesso opera di sostegno-terreno;
- scorrimento sul piano di posa;
- collasso per carico limite dell'insieme fondazione-terreno;
- ribaltamento;
- *SLU di tipo strutturale (STR)*
- raggiungimento della resistenza negli elementi strutturali,

accertando che la condizione (6.2.1) sia soddisfatta per ogni stato limite considerato.

Le verifiche sono condotte secondo l'approccio 2:

- Combinazione (A1+M1+R3)

Per la sola verifica a ribaltamento si considera la sola combinazione (EQ+M2+R2).

### 9.1 Verifica a capacità portante

La valutazione della capacità portante delle fondazioni superficiali viene condotta in accordo all'equazione:

$$q_{lim} = 0.5 \gamma_c B' N_\gamma s_\gamma i_\gamma b_\gamma g_\gamma + c' N_c s_c d_c i_c b_c g_c + q N_q s_q d_q i_q b_q g_q$$

Le espressioni che forniscono i valori dei fattori di capacità portante (N) e dei fattori

correttivi (s, i, b, g) sono riportate nella tabella seguente:

Fattori di capacità portante	$N_c$	$(N_q-1)\cot\phi$	Hansen
	$N_\gamma$	$1,5*(N_q-1)\tan\phi$	Hansen
	$N_q$	$e^{\pi\tan\phi}\tan^2(45+\phi/2)$	Hansen
Fattori correttivi	forma		
	$s_c$	1 per fondazioni nastriformi	Hansen
	$s_\gamma$	1 per fondazioni nastriformi	Hansen
	$s_q$	1 per fondazioni nastriformi	Hansen
	approfondimento		
	$d_c$	$1+0,4k$	Hansen e Vesic
	$d_\gamma$	1	Hansen e Vesic
	$d_q$	$1+2\tan\phi(1-\sin\phi)k$	Hansen e Vesic
	Inclinazione carico		
	$i_c$	$i_q - (1-i_q)/(N_q-1)$	Hansen e Vesic
	$i_\gamma$	$(1-(0,7*H)/(N+B'*c*\cot\phi))^5$	Hansen
	$i_q$	$(1-(0,5*H)/(N+B'*c*\cot\phi))^5$	Hansen
	Inclinazione fondazione*		
	$b_c$	$1-\eta/147^\circ$	Hansen
	$b_\gamma$	$\exp(-2,7*\eta\tan\phi)$	Hansen
	$b_q$	$\exp(-2*\eta\tan\phi)$	Hansen
	Inclinazione piano campagna**		
	$g_c$	$gq-[(1-gq)/(Nc*\tan\phi)]$	Hansen
$g_\gamma$	$(1-\tan\beta)^2$	Hansen	
$g_q$	$g_\gamma$	Hansen	

\* $\eta$  = inclinazione base fondazione

\*\* $\beta$  = inclinazione pendio (dipende dall'angolo d'inclinazione del rilevato e dall'altezza del rilevato)

Tabella 1 – Coefficienti per il calcolo della capacità portante in condizioni drenate

Le formule utilizzate si riferiscono alla fondazione efficace equivalente ovvero quella fondazione rispetto alla quale il carico verticale N risulta centrato; la fondazione equivalente è caratterizzata dalle dimensioni B' e L' valutate sulla base dei criteri proposti da Meyerhof.

Il coefficiente di sicurezza a capacità portante è dato da:

$$F_s = \frac{q_{lim-q}}{q_{amm-q}}$$

$$q_{amm-q}$$

dove:

- $q_{lim}$  = capacità portante limite del terreno  
 $q$  = pressione verticale efficace agente alla quota di imposta della fondazione  
 $q_{amm}$  = pressione verticale uniforme sulla fondazione di area ridotta ( $N/Br$ )  
 $F_s$  = coefficiente di sicurezza ( $R1;R2;R3 < k_p$ )



## 10. Coefficienti sulle azioni

*– Coefficienti parziali per le azioni o per l'effetto delle azioni.*

CARICHI	EFFETTO	Coefficiente Parziale $\gamma_F$ (o $\gamma_E$ )	EQU	(A1) STR	(A2) GEO
Permanenti	Favorevole	$\gamma_{G1}$	0,9	1,0	1,0
	Sfavorevole		1,1	1,3	1,0
Permanenti non strutturali <sup>(1)</sup>	Favorevole	$\gamma_{G2}$	0,0	0,0	0,0
	Sfavorevole		1,5	1,5	1,3
Variabili	Favorevole	$\gamma_{Q3}$	0,0	0,0	0,0
	Sfavorevole		1,5	1,5	1,3

(1) Nel caso in cui i carichi permanenti non strutturali (ad es. i carichi permanenti portati) siano compiutamente definiti, si potranno adottare gli stessi coefficienti validi per le azioni permanenti.

## 11. Coefficienti sui materiali

*- Coefficienti parziali per i parametri geotecnici del terreno*

PARAMETRO	GRANDEZZA ALLA QUALE APPLICARE IL COEFFICIENTE PARZIALE	COEFFICIENTE PARZIALE	(M1)	(M2)
<i>Tangente dell'angolo di resistenza al taglio</i>	$\tan \varphi'_k$	$\gamma_M$	1,0	1,25
<i>Coesione efficace</i>	$c'_k$	$\gamma_c$	1,0	1,25
<i>Resistenza non drenata</i>	$c_{uk}$	$\gamma_{cu}$	1,0	1,4
<i>Peso dell'unità di volume</i>	$\gamma$	$\gamma_f$	1,0	1,0

## 12. Coefficienti sulle resistenze

*- Coefficienti parziali  $\gamma_R$  per le verifiche agli stati limite ultimi STR e GEO di muri di sostegno.*

VERIFICA	COEFFICIENTE PARZIALE (R1)	COEFFICIENTE PARZIALE (R2)	COEFFICIENTE PARZIALE (R3)
Capacità portante della fondazione	$\gamma_R = 1,0$	$\gamma_R = 1,0$	$\gamma_R = 1,4$
Scorrimento	$\gamma_R = 1,0$	$\gamma_R = 1,0$	$\gamma_R = 1,1$
Resistenza del terreno a valle	$\gamma_R = 1,0$	$\gamma_R = 1,0$	$\gamma_R = 1,4$

### 13. Verifiche S.L.E.

Due sono le verifiche condotte:

1. Verifiche a fessurazione;
2. Verifiche delle tensioni di esercizio

#### 13.1 Verifica a fessurazione

Secondo le prescrizioni riportate nella norma UNI EN 206-1 il muro tipo **Paver** può essere soggetto alle condizioni ambientali corrispondenti alle seguenti classi di esposizione : XD1 e XC3 (per le classi XF e XA è necessario fare riferimento ai parametri qualitativi del calcestruzzo).

Per la definizione del limite di apertura delle fessure si assumono i seguenti parametri:

- Condizioni ambientali aggressive
- Armature poco sensibili

Quindi:

- combinazione frequente :  $w_k=1.7*w_m < w_2=0,3$  mm
- combinazione quasi permanente :  $w_k=1.7*w_m < w_3=0,2$  mm

#### 13.2 Verifica delle tensioni di esercizio

Secondo quanto riportato dal D.M. 14/01/2008 :

### *Verifica delle tensioni di esercizio*

Valutate le azioni interne nelle varie parti della struttura, dovute alle combinazioni caratteristica e quasi permanente delle azioni, si calcolano le massime tensioni sia nel calcestruzzo sia nelle armature; si deve verificare che tali tensioni siano inferiori ai massimi valori consentiti di seguito riportati.

#### 1 *Tensione massima di compressione del calcestruzzo nelle condizioni di esercizio*

La massima tensione di compressione del calcestruzzo  $\sigma_c$ , deve rispettare la limitazione seguente:

$$\sigma_c < 0,60 f_{ck} \text{ per combinazione caratteristica (rara)} \quad (4.1.40)$$

$$\sigma_c < 0,45 f_{ck} \text{ per combinazione quasi permanente.} \quad (4.1.41)$$

Nel caso di elementi piani (solette, pareti, ...) gettati in opera con calcestruzzi ordinari e con spessori di calcestruzzo minori di 50 mm i valori limite sopra scritti vanno ridotti del 20%.

#### 2 *Tensione massima dell'acciaio in condizioni di esercizio*

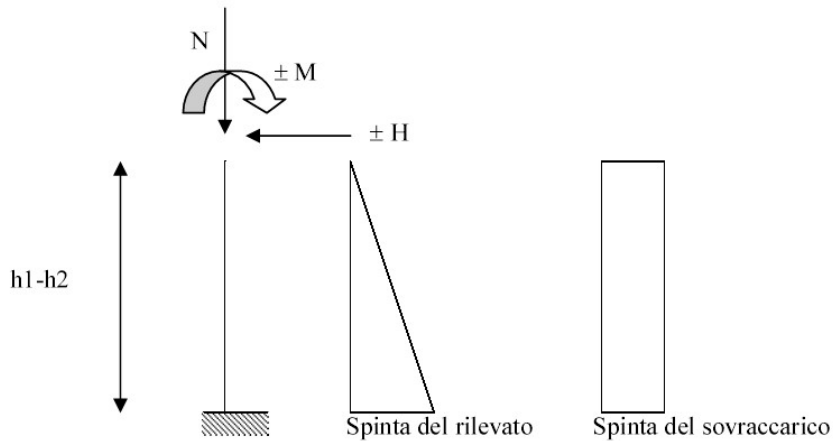
Per l'acciaio avente caratteristiche corrispondenti a quanto indicato al Cap. 11, la tensione massima,  $\sigma_s$ , per effetto delle azioni dovute alla combinazione caratteristica deve rispettare la limitazione seguente:

$$\sigma_s < 0,8 f_{yk} \quad (4.1.42)$$

## 14. Verifiche pannello prefabbricato

### 14.1 Verifica a flessione nel piano verticale

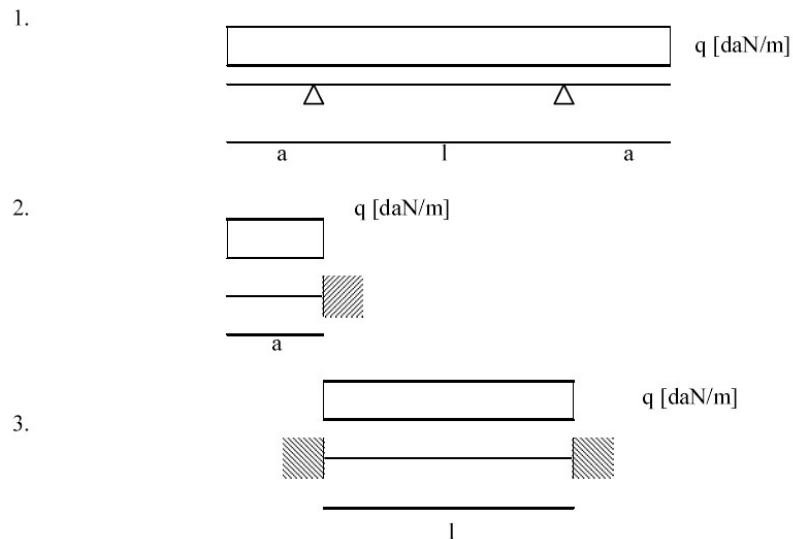
Si adotta lo schema statico di mensola incastrata nella fondazione, secondo lo schema seguente:



Viene condotta una verifica a presso flessione di un'equivalente sezione a T, con una sola nervatura data dalla somma delle due nervature, a partire dal bordo superiore del paramento prefabbricato, con passo di esplorazione "d"

### 14.2 Verifica a flessione nel piano orizzontale

Gli schemi statici adottabili per la verifica della soletta nel piano orizzontale sono i seguenti :



In quanto per le caratteristiche geometriche del pannello è sempre  $a > l/2$  lo schema di carico più gravoso si ha per la condizione 2, per cui nel calcolo si adotta lo schema di mensola incastrata nella nervatura.

Viene valutato lo sforzo di flessione a cui sono sottoposti i due sbalzi laterali del pannello, alla sezione d'attacco con le nervature verticali.

### 14.3 Verifica a taglio

Secondo quanto riportato dal D.M. 14/01/2008 :

*Elementi con armature trasversali resistenti al taglio*

La resistenza a taglio  $V_{Rd}$  di elementi strutturali dotati di specifica armatura a taglio deve essere valutata sulla base di una adeguata schematizzazione a traliccio. Gli elementi resistenti dell'ideale traliccio sono: le armature trasversali, le armature longitudinali, il corrente compresso di calcestruzzo e i puntoni d'anima inclinati. L'inclinazione  $\theta$  dei puntoni di calcestruzzo rispetto all'asse della trave deve rispettare i limiti seguenti:

$$1 \leq \text{ctg } \theta \leq 2,5 \quad (4.1.16)$$

La verifica di resistenza (SLU) si pone con

$$V_{Rd} \geq V_{Ed} \quad (4.1.17)$$

dove  $V_{Ed}$  è il valore di calcolo dello sforzo di taglio agente.

Con riferimento all'armatura trasversale, la resistenza di calcolo a "taglio trazione" si calcola con:

$$V_{Rsd} = 0,9 \cdot d \cdot \frac{A_{sw}}{s} \cdot f_{yd} \cdot (\text{ctg } \alpha + \text{ctg } \theta) \cdot \sin \alpha \quad (4.1.18)$$

Con riferimento al calcestruzzo d'anima, la resistenza di calcolo a "taglio compressione" si calcola con

$$V_{Rcd} = 0,9 \cdot d \cdot b_w \cdot \alpha_c \cdot f'_{cd} \cdot (\text{ctg } \alpha + \text{ctg } \theta) / (1 + \text{ctg}^2 \theta) \quad (4.1.19)$$

La resistenza al taglio della trave è la minore delle due sopra definite:

$$V_{Rd} = \min (V_{Rsd}, V_{Rcd}) \quad (4.1.20)$$

dove  $d$ ,  $b_w$  e  $\sigma_{cp}$  hanno il significato già visto in § 4.1.2.1.3.1. e inoltre si è posto:

- $A_{sw}$  area dell'armatura trasversale;
- $s$  interasse tra due armature trasversali consecutive;
- $\alpha$  angolo di inclinazione dell'armatura trasversale rispetto all'asse della trave;
- $f'_{cd}$  resistenza a compressione ridotta del calcestruzzo d'anima ( $f'_{cd} = 0,5 \cdot f_{cd}$ );
- $\alpha_c$  coefficiente maggiorativo pari a
 

1	per membrature non compresse
$1 + \sigma_{cp}/f_{cd}$	per $0 \leq \sigma_{cp} < 0,25 f_{cd}$
1,25	per $0,25 f_{cd} \leq \sigma_{cp} \leq 0,5 f_{cd}$
$2,5(1 - \sigma_{cp}/f_{cd})$	per $0,5 f_{cd} < \sigma_{cp} < f_{cd}$

## 15. Soletta di fondazione

### 15.1 Verifica a flessione

Si verifica la sezione resistente della soletta di fondazione, sollecitata a momento flettente per effetto del carico del terreno insistente su di essa, del sovraccarico e della reazione scambiata all'interfaccia con il terreno d'appoggio.

Si adotta lo schema statico di mensola incastrata nel cordolo armato passante nei fori delle nervature stesse.



## 16. Verifiche di stabilità globale muro-terreno

### 16.1 Metodo di analisi

In accordo con la normativa vigente, le verifiche di stabilità sia in condizioni statiche che sismiche sono state effettuate con l'Approccio 1- Combinazione 2: A2+M2+R2 tenendo conto dei vari coefficienti parziali riportati nelle tabelle 6.2.I, 6.2.II e 6.8.I. In particolare per la condizione sismica i coefficienti parziali sulle azioni (A2) risultano essere unitari (paragrafo 7.11 NTC).

Le analisi sono state condotte con i metodi all'equilibrio limite. Il livello di sicurezza è espresso come rapporto tra la resistenza a taglio disponibile e lo sforzo di taglio mobilitato lungo la potenziale superficie di scorrimento. In particolare, nei metodi delle strisce la massa di terreno viene discretizzata in strisce verticali e si determina la superficie di scorrimento critica in corrispondenza della quale si ha il minimo coefficiente di sicurezza.

La condizione di verifica  $E_d \leq R_d$  equivale ad avere un coefficiente di sicurezza in corrispondenza della superficie di scorrimento critica  $F_{min} \geq \gamma_R$ :

$$F = R_d/E_d \geq 1.1$$

Nelle analisi è stato adottato il metodo di Bishop: la superficie di scorrimento viene supposta circolare e determinata in modo tale da non avere intersezione con il profilo del muro. Si determina il minimo coefficiente di sicurezza su una maglia di centri di dimensioni 10x10 posta in prossimità della sommità del muro. Il numero di strisce è pari a 50.

In condizioni sismiche, la stabilità è stata analizzata mediante un approccio pseudostatico. Gli effetti del sisma sono stati quindi rappresentati con delle forze d'inerzia orizzontali e verticali applicate alla massa instabile:

$$F_h = k_h \cdot W$$

$$F_v = k_v \cdot W$$

W è il peso totale della massa di terreno al disopra della superficie di scorrimento. I coefficienti  $k_h$  e  $k_v$  vengono determinati mediante le seguenti espressioni:

$$k_h = \beta_m \cdot \frac{a_{max}}{g}$$

$$k_v = \pm 0.5 \cdot k_h$$

In base ai criteri progettuali riportati nel paragrafo 4 si sono determinati i parametri sismici impiegati nelle analisi:

$a_g$ (g) (SLV)	0.142
Categoria di sottosuolo	B
Coefficiente di amplificazione stratigrafica $S_s$	1.2
Coefficiente di amplificazione topografica $S_t$	1.2
$a_{max}$ (g) attesa al sito	0.204
Coefficiente di riduzione dell' $a_{max}$ attesa al sito $\beta_m$	0.24
$k_h$	0.049
$k_v$ (+/-)	0.025

Tabella 16.1 – parametri azione sismica relativi alle analisi di stabilità

I calcoli sono stati svolti mediante l'ausilio del codice di calcolo MAX 10.0 [Aztec Informatica].

## 16.2 Condizioni di carico

*Simbologia e convenzioni di segno adottate*

Carichi verticali positivi verso il basso.

Carichi orizzontali positivi verso sinistra.

Momento positivo senso antiorario.

$X$  Ascissa del punto di applicazione del carico concentrato espressa in [m]

$X_i$  Ascissa del punto iniziale del carico ripartito espressa in [m]

$X_f$  Ascissa del punto finale del carico ripartito espressa in [m]

$Q_i$  Intensità del carico per  $x=X_i$  espressa in [kN/m]

$Q_f$  Intensità del carico per  $x=X_f$  espressa in [kN/m]

$D / C$  Tipo carico : D=distribuito C=concentrato

### Condizione n° 1 (Accidentale)

D Profilo  $X_i=0,00$   $X_f=10,00$   $Q_i=20,0000$   $Q_f=20,0000$

Si è tenuto conto della presenza di un sovraccarico accidentale a monte del muro di sostegno.

## 16.3 Descrizione combinazioni di carico

*Simbologia adottata*

$\gamma$  Coefficiente di partecipazione della condizione

$\Psi$  Coefficiente di combinazione della condizione

$C$  Coefficiente totale di partecipazione della condizione

Combinazione n° 4 STAB

	$\gamma$	$\Psi$	C
Peso proprio	1,00	1.00	1,00
Spinta terreno	1,00	1.00	1,00
Accidentale	1.30	1.00	1.30

Combinazione n° 11 STAB - Sisma Vert. positivo

	$\gamma$	$\Psi$	C
Peso proprio	1,00	1.00	1,00
Spinta terreno	1,00	1.00	1,00

Combinazione n° 12 STAB - Sisma Vert. negativo

	$\gamma$	$\Psi$	C
Peso proprio	1,00	1.00	1,00
Spinta terreno	1,00	1.00	1,00

### 16.4 Risultati delle analisi

I quadri riassuntivi dei coefficienti di sicurezza calcolati per le varie altezze sono di seguito riportati:

*Simbologia adottata*

*C* Identificativo della combinazione

*Tipo* Tipo combinazione

*Sisma* Combinazione sismica

*CS<sub>STAB</sub>* Coeff. di sicurezza a stabilità globale

C	Tipo	Sisma	CS <sub>stab</sub>
4	STAB - [1]	--	1,70
11	STAB - [2]	Orizzontale + Verticale positivo	1,54
12	STAB - [2]	Orizzontale + Verticale negativo	1,53

Tabella 16.2 – Stabilità globale H= 2.75m

C	Tipo	Sisma	CS <sub>stab</sub>
4	STAB - [1]	--	1,35
11	STAB - [2]	Orizzontale + Verticale positiv	1,50
12	STAB - [2]	Orizzontale + Verticale negativo	1,49

Tabella 16.3 – Stabilità globale H= 3.85m

C	Tipo	Sisma	CS <sub>stab</sub>
4	STAB - [1]	--	1,34

11	STAB - [2]	Orizzontale + Verticale positivo	1,45
12	STAB - [2]	Orizzontale + Verticale negativo	1,45
Tabella 16.4 – Stabilità globale H= 4.40m			

C	Tipo	Sisma	CSstab
4	STAB - [1]	--	1,33
11	STAB - [2]	Orizzontale + Verticale positivo	1,42
12	STAB - [2]	Orizzontale + Verticale negativo	1,41
Tabella 16.5 – Stabilità globale H= 4.95m			

C	Tipo	Sisma	CSstab
4	STAB - [1]	--	1,28
11	STAB - [2]	Orizzontale + Verticale positivo	1,35
12	STAB - [2]	Orizzontale + Verticale negativo	1,34
Tabella 16.6 – Stabilità globale H= 5.50			

C	Tipo	Sisma	CSstab
4	STAB - [1]	--	1,28
11	STAB - [2]	Orizzontale + Verticale positivo	1,31
12	STAB - [2]	Orizzontale + Verticale negativo	1,31
Tabella 16.7 – Stabilità globale H= 6.60m			

La verifica di stabilità è soddisfatta in entrambe le condizioni analizzate ( $F_{\min} \geq 1.1$ ).  
 I tabulati di calcolo sono riportati negli allegati in corrispondenza di ogni altezza di calcolo.

## ALLEGATO A: SEZIONE 1 – H=2.75m

### RELAZIONE TECNICA PER MURO DI SOSTEGNO PREFABBRICATO H = 2,75 m

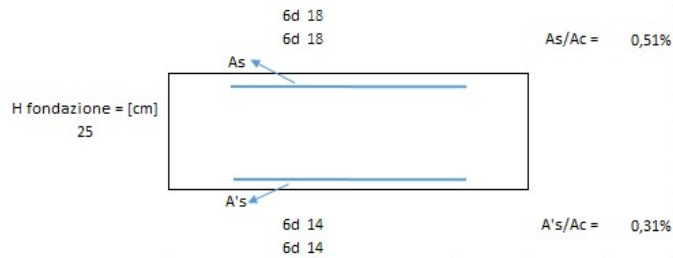
Approccio **2** Muro Tipo **T**

#### 1 DATI DI PROGETTO

<b>1a)</b>	<b><u>Dati geotecnici</u></b>			
	Angolo di attrito interno	gradi	$\phi$	32
	Peso specifico	daN / m3	$\gamma$	1.900
	Angolo di attrito terra - muro (valore prudenziale)	gradi	$\delta$	21
	Angolo di inclinazione piano di campagna	gradi	$\epsilon$	0
	Coesione	daN / cm2	c	0
<b>1b)</b>	<b><u>Carichi agenti</u></b>			
	Sovraccarico variabile stradale / ferroviario	daN / m2	qa	2.000
	Sovraccarico permanente	daN / m2	qp	0
	Forza orizzontale in testa variabile (positivo tende lato monte)	daN / elemento	fv	0
	Forza orizzontale in testa eccezionale (positivo tende lato monte)	daN / elemento	fe	2.500
	Sovraccarico sulla fondazione a monte	daN / m2	q1	0
	Momento in testa variabile (positivo tende lato monte)	daNm / elemento	momv	0
	Momento in testa eccezionale (positivo tende lato monte)	daNm / elemento	momc	2.500
	Forza verticale in testa (positivo di compressione)	daN / elemento	N	0
	Braccio di N rispetto al paramento verticale (positivo verso nervature)	m	braccio	0,00
<b>1c)</b>	<b><u>Dati sismici</u></b>			
	Classe d'Uso		SLV	
	Vita Nominale	anni	Cu	1,5
	Periodo di Riferimento	anni	Vn	50
	Tempo di Ritorno	anni	Vr	75
	Accelerazione orizzontale massima su un sito rigido	[g]	Tr	712
	Categoria sottosuolo		ag(g)	0,142
	Categoria topografica		B	
	Fattore di amplificazione stratigrafica		T1	
	Fattore di amplificazione topografica		Ss	1,20
			St	1,00
<b>1d)</b>	<b><u>Morfologia del muro</u></b>			
	Altezza del muro	m	h1	2,75
	Distanza tra il punto di ribaltamento e il baricentro dell'elemento prefabbricato	m	X <sub>C</sub>	0,61
	Distanza tra il baricentro del pannello e la soletta	m		0,11
	Peso elemento prefabbricato	daN	P	2.150
	Angolo di inclinazione parete prefabbricato rispetto l'orizzontale	gradi	b	90
	Larghezza elemento prefabbricato	m	b1	2,50
	Dimensione appoggio muro	m	appoggio	0,55
	Altezza sezione in sommità (tratto a sezione costante)	m		0,30
	Pendenza nervatura	m	pendenza	20%
	Larghezza nervatura / e	m	s	0,30
	Spessore soletta	m	sol	0,10
<b>1e)</b>	<b><u>Morfologia della fondazione</u></b>			
	Spessore massimo soletta di fondazione	m	h2	0,25
	Spessore minimo soletta di fondazione lato monte	m	h3	0,25
	Spessore minimo soletta di fondazione lato valle	m	h4	0,25
	Larghezza fondazione	m	l	2,60
	Dimensione sbalzo anteriore	m	sbalzo	0,50
	Larghezza suola fondazione a monte	m	l1	2,00
	Larghezza suola fuori nervatura	m	fo	1,60
	Larghezza sottofondazione	m	lf	0,00
	Altezza sottofondazione	m	hf	0,00
	Sbalzo a valle sottofondazione	m	sbf	0,00
<b>1f)</b>	<b><u>Dati geotecnici terreno di fondazione</u></b>			
	Angolo di attrito interno	gradi	$\phi$	28
	Peso specifico	daN / m3	$\gamma$	1.800
	Coesione	daN / cm2	c	0
	Ricoprimento fondazione a valle	m	hr	0,70

<b>2a)</b>	<b><u>Verifica a traslazione</u></b>	combinazione dimensionante	A1+M1	$k_T$	1,20	$> 1,10$
<b>2b)</b>	<b><u>Verifica a ribaltamento</u></b>	combinazione dimensionante	EQ	$k_R$	1,78	$> 1,00$
<b>2c)</b>	<b><u>Verifica a capacità portante</u></b>	combinazione dimensionante	A1+M1	$k_P$	1,57	$> 1,40$
				$\sigma_{Tmax}$	1,02	daN / cm2

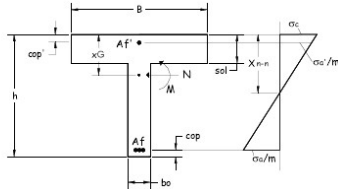
#### 3 VERIFICHE FONDAZIONE



3a)	<u>Verifica fondazione di monte SLU (sezione d'incastro)</u>	$M_u / M_d$	Verifica soddisfatta
	<u>Verifica fondazione di monte SISMICO (sezione d'incastro)</u>	$M_u / M_d$	Verifica soddisfatta
3b)	<u>Verifica fondazione di valle SLU (sezione d'incastro)</u>	$M_u / M_d$	Verifica soddisfatta
	<u>Verifica fondazione di valle SISMICO (sezione d'incastro)</u>	$M_u / M_d$	Verifica soddisfatta
3c)	<u>Verifica fondazione di monte SLE RARA (sezione d'incastro)</u>	$\sigma_c$ [daN / cm <sup>2</sup> ] $\sigma_s$ [daN / cm <sup>2</sup> ]	< $\sigma_c$ lim 150 < $\sigma_s$ lim 3520
	<u>Verifica fondazione di monte SLE FREQUENTE (sezione d'incastro)</u>	Mcr [daNm]	> Me
	<u>Verifica fondazione di monte SLE QUASI PERMANENTE (sezione d'incastro)</u>	$\sigma_c$ [daN / cm <sup>2</sup> ] Mcr [daNm]	< $\sigma_c$ lim 112,5 > Me

**4 VERIFICHE PREFABBRICATO :**

4a) Verifica prefabbricato



Af'	4	Ø 10		
Af 1	4	Ø 18		
Af 2	4	Ø 20	L 2	1,75 m
Af 3	0	Ø 0	L 3	0,00 m
Af 4	0	Ø 0	L 4	0,00 m
Af 5	0	Ø 0	L 5	0,00 m

SLU								STAFFE			
d	h	A <sub>s</sub>	A <sub>t</sub>	M <sub>sd</sub>	N <sub>sd</sub>	K <sub>a</sub>	Mu/M <sub>sd</sub>	Vrsd	Vrcd	Vsd	
cm	cm	cm <sup>2</sup>	cm <sup>2</sup>	daN m	daN	daNm	>1,00	daN	daN	daN	
1	148	30	10,18	3,14	9136	1270	9719	1,06	10986	36433	7297
2	159	31,8	12,57	3,14	9966	1368	12739	1,28	11774	39049	7805
3	250	50,0	12,57	3,14	18864	2149	21294	1,13	19636	65121	12588
4											
5											

SISMICO								STAFFE			
d	h	A <sub>s</sub>	A <sub>t</sub>	M <sub>sd</sub>	N <sub>sd</sub>	K <sub>a</sub>	Mu/M <sub>sd</sub>	Vrsd	Vrcd	Vsd	
cm	cm	cm <sup>2</sup>	cm <sup>2</sup>	daN m	daN	daNm	>1,00	daN	daN	daN	
1	148	30	10,18	3,14	7805	1270	9719	1,25	10986	36433	5130
2	159	31,8	12,57	3,14	8412	1368	12739	1,51	11774	39049	5456
3	250	50,0	12,57	3,14	14836	2149	21294	1,44	19636	65121	8708
4											
5											

SLE						FREQUENTE			RARA		
d	h	A <sub>s</sub>	A <sub>t</sub>	K <sub>a</sub>	srm	Me	ism	wk<0,3	$\sigma_c$ <210	$\sigma_s$ <3520	
cm	cm	cm <sup>2</sup>	cm <sup>2</sup>	daN m	mm	daNm		mm	daN/cm <sup>2</sup>	daN/cm <sup>2</sup>	
1	148	30	10,18	3,14	3260	-	1352	-	Mcr>Me	14	776
2	159	31,8	12,57	3,14	4027	-	1626	-	Mcr>Me	13	703
3	250	50,0	12,57	3,14	8249	-	5166	-	Mcr>Me	17	1238
4											
5											

QUASI PERMANENTE			
Me	ism+cm	wk<0,2	$\sigma_c$ <157,5
daNm		mm	daN/cm <sup>2</sup>
1072	-	Mcr>Me	7
1302	-	Mcr>Me	7
4366	-	Mcr>Me	11

4b)	<u>Verifica soletta nel piano orizzontale SLU</u>	10 Ø 6	$M_u / M_d$	2,40
	<u>Verifica soletta nel piano orizzontale SISMICO</u>		$M_u / M_d$	3,42
	<u>Verifica soletta nel piano orizzontale SLE RARA</u>	$\sigma_c$ [daN / cm <sup>2</sup> ] $\sigma_s$ [daN / cm <sup>2</sup> ]	31 1.140	< $\sigma_c$ lim 210 < $\sigma_s$ lim 3520
	<u>Verifica soletta nel piano orizzontale SLE FREQUENTE</u>	Mcr [daNm]	49	> Me 21
	<u>Verifica soletta nel piano orizzontale SLE QUASI PERMANENTE</u>	$\sigma_c$ [daN / cm <sup>2</sup> ] Mcr [daNm]	24 49	< $\sigma_c$ lim 157,5 > Me 19

## VERIFICHE DI STABILITÀ GLOBALE MURO-TERRENO ( H=2.75m)

Quadro riassuntivo coeff. di sicurezza calcolati

*Simbologia adottata*

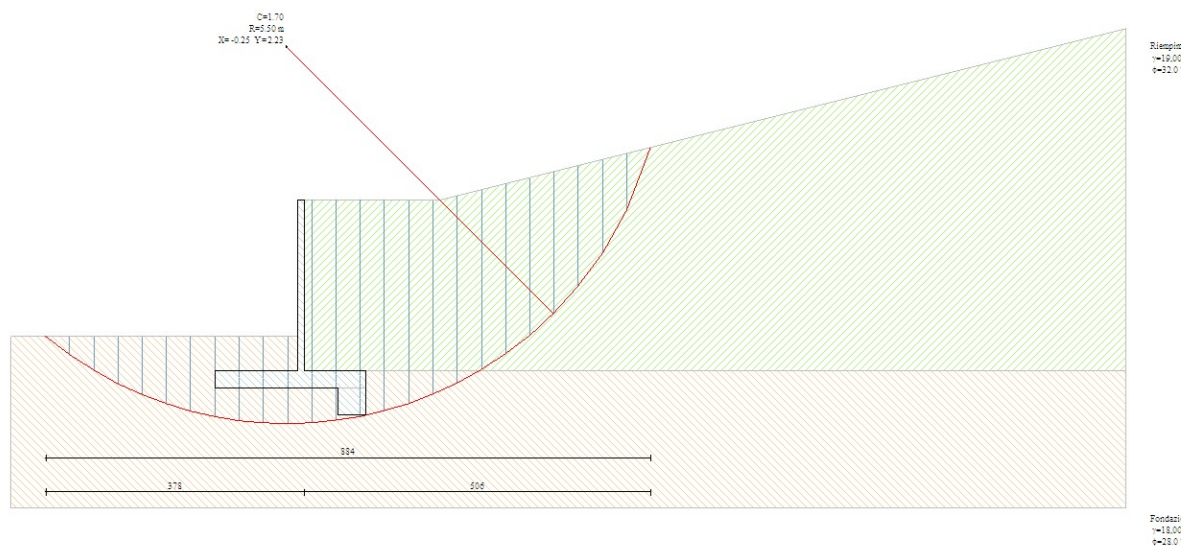
*C* Identificativo della combinazione

*Tipo* Tipo combinazione

*Sisma* Combinazione sismica

*CS<sub>STAB</sub>* Coeff. di sicurezza a stabilità globale

<b>C</b>	<b>Tipo</b>	<b>Sisma</b>	<b>CS<sub>stab</sub></b>
4	STAB - [1]	--	1,70
11	STAB - [2]	Orizzontale + Verticale positivo	1,54
12	STAB - [2]	Orizzontale + Verticale negativo	1,53



### Geometria muro e fondazione

Descrizione	<b>Muro a mensola in c.a.</b>
Altezza del paramento	2,50 [m]
Spessore in sommità	0,10 [m]
Spessore all'attacco con la fondazione	0,10 [m]
Inclinazione paramento esterno	0,00 [°]
Inclinazione paramento interno	0,00 [°]
Lunghezza del muro	2,50 [m]
Spessore rivestimento	0,30 [m]
Peso sp. rivestimento	25,0000 [kN/mc]

### Fondazione

Lunghezza mensola fondazione di valle	1,20 [m]
Lunghezza mensola fondazione di monte	0,90 [m]
Lunghezza totale fondazione	2,20 [m]
Inclinazione piano di posa della fondazione	0,00 [°]
Spessore fondazione	0,25 [m]
Spessore magrone	0,20 [m]
Altezza dello sperone di fondazione	0,40 [m]
Spessore dello sperone di fondazione	0,40 [m]

Contrafforti

Altezza contrafforti	2,50 [m]
Spessore contrafforti	0,15 [m]
Larghezza in sommità	0,20 [m]
Larghezza alla base	0,50 [m]
Interasse contrafforti	1,50 [m]
Numero contrafforti	2
Posizione :	Monte
Disposizione :	Sfalsati

Materiali utilizzati per la struttura

*Calcestruzzo*

Peso specifico	24,517 [kN/mc]
Resistenza caratteristica a compressione $R_{bk}$	250,0 [kg/cmq]

*Acciaio*

Tipo	FeB44K
------	--------

Geometria profilo terreno a monte del muro

*Simbologia adottata e sistema di riferimento*

(Sistema di riferimento con origine in testa al muro, ascissa X positiva verso monte, ordinata Y positiva verso l'alto)

N numero ordine del punto

X ascissa del punto espressa in [m]

Y ordinata del punto espressa in [m]

A inclinazione del tratto espressa in [°]

N	X	Y	A
1	2,00	0,00	0,00
2	12,00	2,50	14,04



Terreno a valle del muro

Inclinazione terreno a valle del muro rispetto all'orizzontale 0,00 [°]

Altezza del rinterro rispetto all'attacco fondaz.valle-paramento 0,50 [m]

Descrizione terreni

*Simbologia adottata*

<i>Nr.</i>	Indice del terreno
<i>Descrizione</i>	Descrizione terreno
$\gamma$	Peso di volume del terreno espresso in [kN/mc]
$\gamma_s$	Peso di volume saturo del terreno espresso in [kN/mc]
$\phi$	Angolo d'attrito interno espresso in [°]
$\delta$	Angolo d'attrito terra-muro espresso in [°]
$c$	Coesione espressa in [kg/cm <sup>2</sup> ]
$c_a$	Adesione terra-muro espressa in [kg/cm <sup>2</sup> ]

<b>Descrizione</b>	<b><math>\gamma</math></b>	<b><math>\gamma_s</math></b>	<b><math>\phi</math></b>	<b><math>\delta</math></b>	<b><math>c</math></b>	<b><math>c_a</math></b>
Riempimento	19,00	19,00	32,00	21,33	0,000	0,000
Fondazione	18,00	18,00	28,00	18,67	0,000	0,000

Stratigrafia

*Simbologia adottata*

<i>N</i>	Indice dello strato
<i>H</i>	Spessore dello strato espresso in [m]
<i>a</i>	Inclinazione espressa in [°]
<i>K<sub>w</sub></i>	Costante di Winkler orizzontale espressa in Kg/cm <sup>2</sup> /cm
<i>K<sub>s</sub></i>	Coefficiente di spinta
<i>Terreno</i>	Terreno dello strato

<b>Nr.</b>	<b>H</b>	<b>a</b>	<b>K<sub>w</sub></b>	<b>K<sub>s</sub></b>	<b>Terreno</b>
1	2,50	0,00	0,00	0,00	Riempimento
2	2,00	0,00	1,88	0,00	Fondazione

Stabilità globale muro + terreno

Combinazione n° 4

Le ascisse X sono considerate positive verso monte

Le ordinate Y sono considerate positive verso l'alto

Origine in testa al muro (spigolo contro terra)

W peso della striscia espresso in [kN]

$\alpha$  angolo fra la base della striscia e l'orizzontale espresso in [°] (positivo antiorario)

- $\phi$      angolo d'attrito del terreno lungo la base della striscia
- $c$      coesione del terreno lungo la base della striscia espressa in [kg/cmq]
- $b$      larghezza della striscia espressa in [m]
- $u$      pressione neutra lungo la base della striscia espressa in [kg/cmq]

Metodo di Bishop

Numero di cerchi analizzati    36

Numero di strisce                25

Cerchio critico

Coordinate del centro X[m]= -0,25    Y[m]= 2,23

Raggio del cerchio    R[m]= 5,50

Ascissa a valle del cerchio    Xi[m]= -3,78

Ascissa a monte del cerchio    Xs[m]= 5,06

Larghezza della striscia        dx[m]= 0,35

Coefficiente di sicurezza        C= 1.70

Le strisce sono numerate da monte verso valle

Caratteristiche delle strisce

Striscia	W	$\alpha(^{\circ})$	$W\sin\alpha$	$b/\cos\alpha$	$\phi$	c	u
1	284.99	68.97	266.00	0.99	26.56	0.000	0.000
2	754.47	60.56	657.06	0.72	26.56	0.000	0.000
3	1073.69	53.70	865.30	0.60	26.56	0.000	0.000
4	1311.98	47.84	972.54	0.53	26.56	0.000	0.000
5	1496.69	42.59	1012.93	0.48	26.56	0.000	0.000
6	1641.41	37.76	1005.11	0.45	26.56	0.000	0.000
7	1754.10	33.23	961.15	0.42	26.56	0.000	0.000
8	1836.89	28.92	888.27	0.40	23.33	0.000	0.000
9	1896.25	24.78	794.93	0.39	23.04	0.000	0.000
10	1979.61	20.78	702.49	0.38	23.04	0.000	0.000
11	2058.07	16.89	597.91	0.37	23.04	0.000	0.000
12	2150.30	13.07	486.36	0.36	23.04	0.000	0.000
13	2291.44	9.31	370.87	0.36	23.04	0.000	0.000
14	2247.01	5.60	219.12	0.36	23.04	0.000	0.000
15	1860.20	1.90	61.73	0.35	23.04	0.000	0.000
16	894.97	-1.78	-27.87	0.35	23.04	0.000	0.000
17	880.31	-5.48	-84.05	0.36	23.04	0.000	0.000
18	850.02	-9.20	-135.84	0.36	23.04	0.000	0.000
19	750.56	-12.95	-168.23	0.36	23.04	0.000	0.000
20	689.54	-16.77	-198.92	0.37	23.04	0.000	0.000

21	611.64	-20.66	-215.80	0.38	23.04	0.000	0.000
22	515.62	-24.66	-215.10	0.39	23.04	0.000	0.000
23	399.80	-28.79	-192.51	0.40	23.04	0.000	0.000
24	257.39	-33.09	-140.51	0.42	26.56	0.000	0.000
25	85.01	-37.61	-51.88	0.45	26.56	0.000	0.000

$\Sigma W_i = 299,8131$  [kN]

$\Sigma W_i \sin \alpha_i = 82,6818$  [kN]

$\Sigma W_i \tan \phi_i = 133,9668$  [kN]

$\Sigma \tan \alpha_i \tan \phi_i = 3.89$

Combinazione n° 11

Le ascisse X sono considerate positive verso monte

Le ordinate Y sono considerate positive verso l'alto

Origine in testa al muro (spigolo contro terra)

W peso della striscia espresso in [kN]

$\alpha$  angolo fra la base della striscia e l'orizzontale espresso in [°] (positivo antiorario)

$\phi$  angolo d'attrito del terreno lungo la base della striscia

c coesione del terreno lungo la base della striscia espressa in [kg/cmq]

b larghezza della striscia espressa in [m]

u pressione neutra lungo la base della striscia espressa in [kg/cmq]

Metodo di Bishop

Numero di cerchi analizzati 36

Numero di strisce 25

Cerchio critico

Coordinate del centro X[m]= -0,25 Y[m]= 2,23

Raggio del cerchio R[m]= 5,50

Ascissa a valle del cerchio Xi[m]= -3,78

Ascissa a monte del cerchio Xs[m]= 5,06

Larghezza della striscia dx[m]= 0,35

Coefficiente di sicurezza C= 1.54

Le strisce sono numerate da monte verso valle

Caratteristiche delle strisce

Striscia	W	$\alpha$ (°)	$W \sin \alpha$	$b / \cos \alpha$	$\phi$	c	u
1	284.99	68.97	266.00	0.99	26.56	0.000	0.000
2	754.47	60.56	657.06	0.72	26.56	0.000	0.000
3	1073.69	53.70	865.30	0.60	26.56	0.000	0.000

4	1311.98	47.84	972.54	0.53	26.56	0.000	0.000
5	1496.69	42.59	1012.93	0.48	26.56	0.000	0.000
6	1641.41	37.76	1005.11	0.45	26.56	0.000	0.000
7	1754.10	33.23	961.15	0.42	26.56	0.000	0.000
8	1836.89	28.92	888.27	0.40	23.33	0.000	0.000
9	1896.25	24.78	794.93	0.39	23.04	0.000	0.000
10	1979.61	20.78	702.49	0.38	23.04	0.000	0.000
11	2058.07	16.89	597.91	0.37	23.04	0.000	0.000
12	2150.30	13.07	486.36	0.36	23.04	0.000	0.000
13	2291.44	9.31	370.87	0.36	23.04	0.000	0.000
14	2247.01	5.60	219.12	0.36	23.04	0.000	0.000
15	1860.20	1.90	61.73	0.35	23.04	0.000	0.000
16	894.97	-1.78	-27.87	0.35	23.04	0.000	0.000
17	880.31	-5.48	-84.05	0.36	23.04	0.000	0.000
18	850.02	-9.20	-135.84	0.36	23.04	0.000	0.000
19	750.56	-12.95	-168.23	0.36	23.04	0.000	0.000
20	689.54	-16.77	-198.92	0.37	23.04	0.000	0.000
21	611.64	-20.66	-215.80	0.38	23.04	0.000	0.000
22	515.62	-24.66	-215.10	0.39	23.04	0.000	0.000
23	399.80	-28.79	-192.51	0.40	23.04	0.000	0.000
24	257.39	-33.09	-140.51	0.42	26.56	0.000	0.000
25	85.01	-37.61	-51.88	0.45	26.56	0.000	0.000

$$\Sigma W_i = 299,8131 \text{ [kN]}$$

$$\Sigma W_i \sin \alpha_i = 82,6818 \text{ [kN]}$$

$$\Sigma W_i \tan \phi_i = 133,9668 \text{ [kN]}$$

$$\Sigma \tan \alpha_i \tan \phi_i = 3.89$$

### Combinazione n° 12

Le ascisse X sono considerate positive verso monte

Le ordinate Y sono considerate positive verso l'alto

Origine in testa al muro (spigolo contro terra)

W peso della striscia espresso in [kN]

$\alpha$  angolo fra la base della striscia e l'orizzontale espresso in [°] (positivo antiorario)

$\phi$  angolo d'attrito del terreno lungo la base della striscia

c coesione del terreno lungo la base della striscia espressa in [kg/cmq]

b larghezza della striscia espressa in [m]

u pressione neutra lungo la base della striscia espressa in [kg/cmq]

### Metodo di Bishop

Numero di cerchi analizzati 36

Numero di strisce 25

### Cerchio critico

Coordinate del centro X[m]= -0,25 Y[m]= 2,23

Raggio del cerchio R[m]= 5,50

Ascissa a valle del cerchio Xi[m]= -3,78

Ascissa a monte del cerchio Xs[m]= 5,06

Larghezza della striscia dx[m]= 0,35

Coefficiente di sicurezza C= 1.53

Le strisce sono numerate da monte verso valle

### Caratteristiche delle strisce

Striscia	W	$\alpha(^{\circ})$	$W\sin\alpha$	$b/\cos\alpha$	$\phi$	c	u
1	284.99	68.97	266.00	0.99	26.56	0.000	0.000
2	754.47	60.56	657.06	0.72	26.56	0.000	0.000
3	1073.69	53.70	865.30	0.60	26.56	0.000	0.000
4	1311.98	47.84	972.54	0.53	26.56	0.000	0.000
5	1496.69	42.59	1012.93	0.48	26.56	0.000	0.000
6	1641.41	37.76	1005.11	0.45	26.56	0.000	0.000
7	1754.10	33.23	961.15	0.42	26.56	0.000	0.000
8	1836.89	28.92	888.27	0.40	23.33	0.000	0.000
9	1896.25	24.78	794.93	0.39	23.04	0.000	0.000
10	1979.61	20.78	702.49	0.38	23.04	0.000	0.000
11	2058.07	16.89	597.91	0.37	23.04	0.000	0.000
12	2150.30	13.07	486.36	0.36	23.04	0.000	0.000
13	2291.44	9.31	370.87	0.36	23.04	0.000	0.000
14	2247.01	5.60	219.12	0.36	23.04	0.000	0.000
15	1860.20	1.90	61.73	0.35	23.04	0.000	0.000
16	894.97	-1.78	-27.87	0.35	23.04	0.000	0.000
17	880.31	-5.48	-84.05	0.36	23.04	0.000	0.000
18	850.02	-9.20	-135.84	0.36	23.04	0.000	0.000
19	750.56	-12.95	-168.23	0.36	23.04	0.000	0.000
20	689.54	-16.77	-198.92	0.37	23.04	0.000	0.000
21	611.64	-20.66	-215.80	0.38	23.04	0.000	0.000
22	515.62	-24.66	-215.10	0.39	23.04	0.000	0.000
23	399.80	-28.79	-192.51	0.40	23.04	0.000	0.000
24	257.39	-33.09	-140.51	0.42	26.56	0.000	0.000
25	85.01	-37.61	-51.88	0.45	26.56	0.000	0.000

$$\Sigma W_i = 299,8131 \text{ [kN]}$$

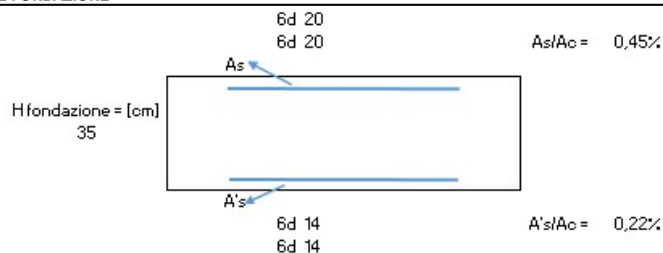
$$\Sigma W_i \sin \alpha_i = 82,6818 \text{ [kN]}$$

$$\Sigma W_i \tan \phi_i = 133,9668 \text{ [kN]}$$

$$\Sigma \tan \alpha_i \tan \phi_i = 3.89$$

## ALLEGATO B: SEZIONE 2 – H=3.85m

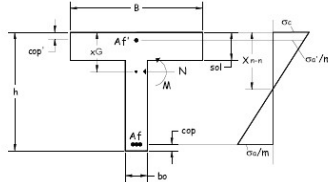
RELAZIONE TECNICA PER MURO DI SOSTEGNO PREFABBRICATO			H = 3,85 m	
Approccio	2		Muro Tipo	T
<b>1</b>	<b>DATI DI PROGETTO</b>			
1a)	<b>Dati geotecnici</b> Angolo di attrito interno Peso specifico Angolo di attrito terra - muro (valore prudenziale) Angolo di inclinazione piano di campagna Coesione	gradi daN / m3 gradi gradi daN / cm2	φ γ δ ε c	32 1.900 21 0 0
1b)	<b>Carichi agenti</b> Sovraccarico variabile stradale / ferroviario Sovraccarico permanente Forza orizzontale in testa variabile (positivo tende lato monte) Forza orizzontale in testa eccezionale (positivo tende lato monte) Sovraccarico sulla fondazione a monte Momento in testa variabile (positivo tende lato monte) Momento in testa eccezionale (positivo tende lato monte) Forza verticale in testa (positivo di compressione) Braccio di N rispetto al paramento verticale (positivo verso nervature)	daN / m2 daN / m2 daN / elemento daN / elemento daN / m2 daNm / elemento daNm / elemento daN / elemento m	qa qp fv fe q1 momv mome N braccio	2.000 0 0 2.500 0 0 2.500 0 0,00
1c)	<b>Dati sismici</b> Classe d'Uso Vita Nominale Periodo di Riferimento Tempo di Ritorno Accelerazione orizzontale massima su un sito rigido Categoria sottosuolo Categoria topografica Fattore di amplificazione stratigrafica Fattore di amplificazione topografica	III anni anni anni [g]	SLV Cu Vn Vr Tr ag(g)	1,5 50 75 712 0,142 B T1 1,20 1,00
1d)	<b>Morfologia del muro</b> Altezza del muro Distanza tra il punto di ribaltamento e il baricentro dell'elemento prefabbricato Distanza tra il baricentro del pannello e la soletta Peso elemento prefabbricato Angolo di inclinazione parete prefabbricato rispetto l'orizzontale Larghezza elemento prefabbricato Dimensione appoggio muro Altezza sezione in sommità (tratto a sezione costante) Pendenza nervatura Larghezza nervatura / e Spessore soletta	m m m daN gradi m m m m m m m	h1 X <sub>G</sub>  P b b1 appoggio  pendenza s sol	3,85 0,85 0,15 3.225 90 2,50 0,77 0,30 20% 0,30 0,10
1e)	<b>Morfologia della fondazione</b> Spessore massimo soletta di fondazione Spessore minimo soletta di fondazione lato monte Spessore minimo soletta di fondazione lato valle Larghezza fondazione Dimensione sbalzo anteriore Larghezza suola fondazione a monte Larghezza suola fuori nervatura Larghezza sottofondazione Altezza sottofondazione Sbalzo a valle sottofondazione	m m m m m m m m m m	h2 h3 h4 l sbalzo l1 fo lf hf sbf	0,35 0,35 0,35 3,10 0,70 2,30 1,70 0,00 0,00 0,00
1f)	<b>Dati geotecnici terreno di fondazione</b> Angolo di attrito interno Peso specifico Coesione Ricoprimento fondazione a valle	gradi daN / m3 daN / cm2 m	φ γ c hr	28 1.800 0 0,70
2a)	<b>Verifica a traslazione</b>	combinazione dimensionante	A1+M1	k <sub>T</sub> > 1,10
2b)	<b>Verifica a ribaltamento</b>	combinazione dimensionante	EQ	k <sub>R</sub> > 1,00
2c)	<b>Verifica a capacità portante</b>	combinazione dimensionante	A1+M1	k <sub>P</sub> > 1,40 <small>σ<sub>T</sub> max daN / cm2</small>
<b>3</b>	<b>VERIFICHE FONDAZIONE</b>			



3a)	<u>Verifica fondazione di monte SLU (sezione d'incastro)</u> <u>Verifica fondazione di monte SISMICO (sezione d'incastro)</u>	$M_u / M_d$ $M_u / M_d$	Verifica soddisfatta Verifica soddisfatta
3b)	<u>Verifica fondazione di valle SLU (sezione d'incastro)</u> <u>Verifica fondazione di valle SISMICO (sezione d'incastro)</u>	$M_u / M_d$ $M_u / M_d$	Verifica soddisfatta Verifica soddisfatta
3c)	<u>Verifica fondazione di monte SLE RARA (sezione d'incastro)</u>	$\sigma_c$ [daN / cm <sup>2</sup> ] $\sigma_s$ [daN / cm <sup>2</sup> ]	$< \sigma_{c,lim}$ 150 $< \sigma_{s,lim}$ 3520
	<u>Verifica fondazione di monte SLE FREQUENTE (sezione d'incastro)</u>	Mcr [daNm]	$> Me$
	<u>Verifica fondazione di monte SLE QUASI PERMANENTE (sezione d'incastro)</u>	$\sigma_c$ [daN / cm <sup>2</sup> ] Mcr [daNm]	$< \sigma_{c,lim}$ 112,5 $> Me$

**4 VERIFICHE PREFABBRICATO :**

4a) Verifica prefabbricato



Af'	4	Φ 10		
Af 1	4	Φ 18		
Af 2	4	Φ 18	L 2	2,35 m
Af 3	4	Φ 14	L 3	1,24 m
Af 4	0	Φ 0	L 4	0,00 m
Af 5	0	Φ 0	L 5	0,00 m

SLU										STAFFE	diam. [mm]	passo [cm]
d	h	A <sub>s</sub>	A <sub>c</sub>	M <sub>sd</sub>	N <sub>sd</sub>	Ka	Mu	Mu/M <sub>sd</sub>	Vr <sub>sd</sub>	Vr <sub>cd</sub>	V <sub>sd</sub>	
cm	cm	cm <sup>2</sup>	cm <sup>2</sup>	daN m	daN	daNm	daNm	>1,00	daN	daN	daN	
1	143	30	10,18	3,14	8823	1319	9720	1,10	11029	36577	7102	
2	159	31,8	10,18	3,14	9971	1466	10410	1,04	11814	39181	7808	
3	255	50,9	16,34	3,14	19438	2346	28050	1,44	20072	66566	12866	
4	350	70,0	16,34	3,14	34322	3225	39875	1,16	28329	93952	19328	

SISMICO										STAFFE	diam. [mm]	passo [cm]
d	h	A <sub>s</sub>	A <sub>c</sub>	M <sub>sd</sub>	N <sub>sd</sub>	Ka	Mu	Mu/M <sub>sd</sub>	Vr <sub>sd</sub>	Vr <sub>cd</sub>	V <sub>sd</sub>	
cm	cm	cm <sup>2</sup>	cm <sup>2</sup>	daN m	daN	daNm	daNm	>1,00	daN	daN	daN	
1	143	30	10,18	3,14	7626	1319	9720	1,27	11029	36577	5070	
2	159	31,8	10,18	3,14	8479	1466	10410	1,23	11814	39181	5529	
3	255	50,9	16,34	3,14	15405	2346	28050	1,82	20072	66566	9011	
4	350	70,0	16,34	3,14	26292	3225	39875	1,52	28329	93952	13740	

SLE				FREQUENTE				RARA			
d	h	A <sub>s</sub>	A <sub>c</sub>	Mcr	srm	Me	ism	wk<0,3	σ <sub>c</sub> <210	σ <sub>s</sub> <3520	
cm	cm	cm <sup>2</sup>	cm <sup>2</sup>	daN m	mm	daNm	mm	mm	daN/cm <sup>2</sup>	daN/cm <sup>2</sup>	
1	143	30	10,18	3,14	3266	-	1252	-	Mcr>Me	13	714
2	159	31,8	10,18	3,14	3590	-	1627	-	Mcr>Me	14	856
3	255	50,9	16,34	3,14	9725	0	5421	-	Mcr>Me	16	979
4	350	70,0	16,34	3,14	15850	-	12618	-	Mcr>Me	21	1585

QUASI PERMANENTE			
Me	ism=cm	wk<0,2	σ <sub>c</sub> <157,5
daNm	mm	mm	daN/cm <sup>2</sup>
989	-	Mcr>Me	7
1303	-	Mcr>Me	8
4590	-	Mcr>Me	10
11049	-	Mcr>Me	14

4b)	<u>Verifica soletta nel piano orizzontale SLU</u> <u>Verifica soletta nel piano orizzontale SISMICO</u>	10 Φ 6	$M_u / M_d$ $M_u / M_d$	1,91 2,56
	<u>Verifica soletta nel piano orizzontale SLE RARA</u>	$\sigma_c$ [daN / cm <sup>2</sup> ] $\sigma_s$ [daN / cm <sup>2</sup> ]	39 1.457	$< \sigma_{c,lim}$ 210 $< \sigma_{s,lim}$ 3520
	<u>Verifica soletta nel piano orizzontale SLE FREQUENTE</u>	Mcr [daNm]	69	$> Me$ 38
	<u>Verifica soletta nel piano orizzontale SLE QUASI PERMANENTE</u>	$\sigma_c$ [daN / cm <sup>2</sup> ] Mcr [daNm]	33 69	$< \sigma_{c,lim}$ 157,5 $> Me$ 36



## VERIFICHE DI STABILITÀ GLOBALE MURO-TERRENO ( H=3.85m)

Quadro riassuntivo coeff. di sicurezza calcolati

*Simbologia adottata*

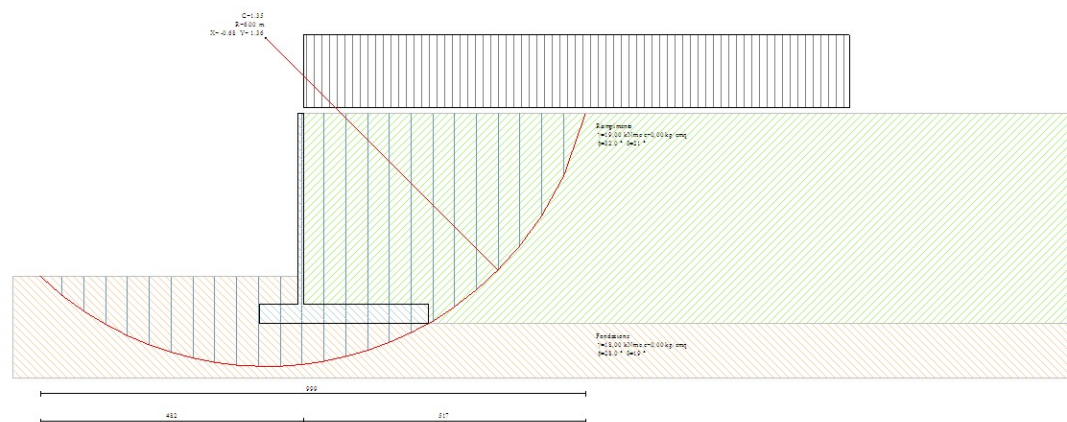
*C* Identificativo della combinazione

*Tipo* Tipo combinazione

*Sisma* Combinazione sismica

*CS<sub>STAB</sub>* Coeff. di sicurezza a stabilità globale

C	Tipo	Sisma	CS <sub>stab</sub>
4	STAB - [1]	--	1,35
11	STAB - [2]	Orizzontale + Verticale positivo	1,50
12	STAB - [2]	Orizzontale + Verticale negativo	1,49



### Geometria muro e fondazione

Descrizione	Muro a mensola in c.a.
Altezza del paramento	3,50 [m]
Spessore in sommità	0,10 [m]
Spessore all'attacco con la fondazione	0,10 [m]
Inclinazione paramento esterno	0,00 [°]
Inclinazione paramento interno	0,00 [°]
Lunghezza del muro	2,50 [m]
Spessore rivestimento	0,30 [m]
Peso sp. rivestimento	25,0000 [kN/mc]

Fondazione

Lunghezza mensola fondazione di valle	0,70 [m]
Lunghezza mensola fondazione di monte	2,30 [m]
Lunghezza totale fondazione	3,10 [m]
Inclinazione piano di posa della fondazione	0,00 [°]
Spessore fondazione	0,35 [m]
Spessore magrone	0,20 [m]

Contrafforti

Altezza contrafforti	3,50 [m]
Spessore contrafforti	0,15 [m]
Larghezza in sommità	0,20 [m]
Larghezza alla base	0,60 [m]
Interasse contrafforti	1,50 [m]
Numero contrafforti	2
Posizione :	Monte
Disposizione :	Sfalsati

Materiali utilizzati per la struttura

*Calcestruzzo*

Peso specifico	24,517 [kN/mc]
Resistenza caratteristica a compressione $R_{bk}$	250,0 [kg/cmq]

*Acciaio*

Tipo	FeB44K
------	--------

Geometria profilo terreno a monte del muro

*Simbologia adottata e sistema di riferimento*

(Sistema di riferimento con origine in testa al muro, ascissa X positiva verso monte, ordinata Y positiva verso l'alto)

N numero ordine del punto

X ascissa del punto espressa in [m]

Y ordinata del punto espressa in [m]

A inclinazione del tratto espressa in [°]

N	X	Y	A
1	20,00	0,00	0,00

Terreno a valle del muro

Inclinazione terreno a valle del muro rispetto all'orizzontale 0,00 [°]  
 Altezza del rinterro rispetto all'attacco fondaz.valle-paramento 0,50 [m]

Descrizione terreni

*Simbologia adottata*

<i>Nr.</i>	Indice del terreno
<i>Descrizione</i>	Descrizione terreno
$\gamma$	Peso di volume del terreno espresso in [kN/mc]
$\gamma_s$	Peso di volume saturo del terreno espresso in [kN/mc]
$\phi$	Angolo d'attrito interno espresso in [°]
$\delta$	Angolo d'attrito terra-muro espresso in [°]
$c$	Coesione espressa in [kg/cm <sup>2</sup> ]
$c_a$	Adesione terra-muro espressa in [kg/cm <sup>2</sup> ]

<b>Descrizione</b>	<b><math>\gamma</math></b>	<b><math>\gamma_s</math></b>	<b><math>\phi</math></b>	<b><math>\delta</math></b>	<b><math>c</math></b>	<b><math>c_a</math></b>
Riempimento	19,00	19,00	32.00	21.33	0,000	0,000
Fondazione	18,00	18,00	28.00	18.67	0,000	0,000

Stratigrafia

Terreno spingente: Riempimento  
 Terreno di fondazione: Fondazione

Stabilità globale muro + terreno

Combinazione n° 4

Le ascisse X sono considerate positive verso monte

Le ordinate Y sono considerate positive verso l'alto

Origine in testa al muro (spigolo contro terra)

$W$	peso della striscia espresso in [kN]
$\alpha$	angolo fra la base della striscia e l'orizzontale espresso in [°] (positivo antiorario)
$\phi$	angolo d'attrito del terreno lungo la base della striscia
$c$	coesione del terreno lungo la base della striscia espressa in [kg/cm <sup>2</sup> ]
$b$	larghezza della striscia espressa in [m]
$u$	pressione neutra lungo la base della striscia espressa in [kg/cm <sup>2</sup> ]

Metodo di Bishop

Numero di cerchi analizzati 36  
 Numero di strisce 25

Cerchio critico

Coordinate del centro X[m]= -0,68 Y[m]= 1,36

Raggio del cerchio  $R[m]= 6,00$   
 Ascissa a valle del cerchio  $Xi[m]= -4,82$   
 Ascissa a monte del cerchio  $Xs[m]= 5,17$   
 Larghezza della striscia  $dx[m]= 0,40$   
 Coefficiente di sicurezza  $C= 1.35$

Le strisce sono numerate da monte verso valle

Caratteristiche delle strisce

Striscia	W	$\alpha(^{\circ})$	$W\sin\alpha$	$b/\cos\alpha$	$\phi$	c	u
1	1504.18	70.81	1420.61	1.22	26.56	0.000	0.000
2	2231.57	61.31	1957.68	0.83	26.56	0.000	0.000
3	2727.98	54.08	2209.34	0.68	26.56	0.000	0.000
4	3113.33	47.98	2312.97	0.60	26.56	0.000	0.000
5	3427.05	42.54	2317.10	0.54	26.56	0.000	0.000
6	3687.96	37.55	2247.42	0.50	26.56	0.000	0.000
7	3906.86	32.87	2120.29	0.48	26.56	0.000	0.000
8	4151.90	28.43	1976.51	0.45	23.75	0.000	0.000
9	4312.70	24.17	1765.65	0.44	23.04	0.000	0.000
10	4432.47	20.05	1519.35	0.43	23.04	0.000	0.000
11	4528.45	16.03	1250.55	0.42	23.04	0.000	0.000
12	4602.26	12.10	964.34	0.41	23.04	0.000	0.000
13	4640.74	8.22	663.26	0.40	23.04	0.000	0.000
14	1917.66	4.38	146.33	0.40	23.04	0.000	0.000
15	1317.42	0.56	12.78	0.40	23.04	0.000	0.000
16	1229.67	-3.26	-69.98	0.40	23.04	0.000	0.000
17	1203.07	-7.10	-148.61	0.40	23.04	0.000	0.000
18	1156.43	-10.96	-219.88	0.41	23.04	0.000	0.000
19	1089.10	-14.88	-279.63	0.41	23.04	0.000	0.000
20	1000.07	-18.87	-323.40	0.42	23.04	0.000	0.000
21	887.89	-22.95	-346.28	0.43	23.04	0.000	0.000
22	750.56	-27.17	-342.74	0.45	23.04	0.000	0.000
23	581.21	-31.55	-304.15	0.47	26.22	0.000	0.000
24	373.19	-36.16	-220.17	0.49	26.56	0.000	0.000
25	125.40	-41.05	-82.35	0.53	26.56	0.000	0.000

$\Sigma W_i= 577,6121$  [kN]

$\Sigma W_i\sin\alpha_i= 201,5005$  [kN]

$\Sigma W_i\tan\phi_i= 262,0994$  [kN]

$\Sigma \tan\alpha_i\tan\phi_i= 3.74$

Stabilità globale muro + terreno

### Combinazione n° 11

Le ascisse X sono considerate positive verso monte

Le ordinate Y sono considerate positive verso l'alto

Origine in testa al muro (spigolo contro terra)

- W peso della striscia espresso in [kN]
- $\alpha$  angolo fra la base della striscia e l'orizzontale espresso in [°] (positivo antiorario)
- $\phi$  angolo d'attrito del terreno lungo la base della striscia
- c coesione del terreno lungo la base della striscia espressa in [kg/cmq]
- b larghezza della striscia espressa in [m]
- u pressione neutra lungo la base della striscia espressa in [kg/cmq]

Metodo di Bishop

Numero di cerchi analizzati 36

Numero di strisce 25

Cerchio critico

Coordinate del centro X[m]= -0,34 Y[m]= 1,36

Raggio del cerchio R[m]= 5,84

Ascissa a valle del cerchio Xi[m]= -4,24

Ascissa a monte del cerchio Xs[m]= 5,35

Larghezza della striscia dx[m]= 0,38

Coefficiente di sicurezza C= 1.50

Le strisce sono numerate da monte verso valle

Caratteristiche delle strisce

Striscia	W	$\alpha(^{\circ})$	Wsin $\alpha$	b/cos $\alpha$	$\phi$	c	u
1	404.55	70.60	381.57	1.15	26.56	0.000	0.000
2	1069.24	61.29	937.76	0.80	26.56	0.000	0.000
3	1526.64	54.15	1237.50	0.65	26.56	0.000	0.000
4	1882.84	48.12	1401.91	0.57	26.56	0.000	0.000
5	2173.47	42.74	1475.13	0.52	26.56	0.000	0.000
6	2415.69	37.80	1480.56	0.49	26.56	0.000	0.000
7	2619.36	33.17	1433.13	0.46	26.56	0.000	0.000
8	2795.06	28.78	1345.52	0.44	26.38	0.000	0.000
9	3006.16	24.56	1249.57	0.42	23.04	0.000	0.000
10	3118.81	20.48	1091.46	0.41	23.04	0.000	0.000
11	3209.66	16.51	912.37	0.40	23.04	0.000	0.000
12	3280.21	12.62	716.92	0.39	23.04	0.000	0.000
13	3331.53	8.79	509.27	0.39	23.04	0.000	0.000
14	3410.89	5.00	297.33	0.39	23.04	0.000	0.000

15	1758.99	1.23	37.79	0.38	23.04	0.000	0.000
16	1150.67	-2.53	-50.87	0.38	23.04	0.000	0.000
17	1050.56	-6.31	-115.46	0.39	23.04	0.000	0.000
18	1009.46	-10.11	-177.25	0.39	23.04	0.000	0.000
19	951.82	-13.96	-229.66	0.40	23.04	0.000	0.000
20	874.71	-17.88	-268.52	0.40	23.04	0.000	0.000
21	776.94	-21.88	-289.56	0.41	23.04	0.000	0.000
22	656.52	-26.00	-287.83	0.43	24.13	0.000	0.000
23	505.58	-30.27	-254.88	0.44	26.56	0.000	0.000
24	323.57	-34.74	-184.40	0.47	26.56	0.000	0.000
25	107.41	-39.47	-68.28	0.50	26.56	0.000	0.000

$$\Sigma W_i = 425,7171 \text{ [kN]}$$

$$\Sigma W_i \sin \alpha_i = 123,3804 \text{ [kN]}$$

$$\Sigma W_i \tan \phi_i = 192,6866 \text{ [kN]}$$

$$\Sigma \tan \alpha_i \tan \phi_i = 3.89$$

Stabilità globale muro + terreno

Combinazione n° 12

Le ascisse X sono considerate positive verso monte

Le ordinate Y sono considerate positive verso l'alto

Origine in testa al muro (spigolo contro terra)

W peso della striscia espresso in [kN]

$\alpha$  angolo fra la base della striscia e l'orizzontale espresso in [°] (positivo antiorario)

$\phi$  angolo d'attrito del terreno lungo la base della striscia

$c$  coesione del terreno lungo la base della striscia espressa in [kg/cmq]

$b$  larghezza della striscia espressa in [m]

$u$  pressione neutra lungo la base della striscia espressa in [kg/cmq]

Metodo di Bishop

Numero di cerchi analizzati 36

Numero di strisce 25

Cerchio critico

Coordinate del centro X[m]= -0,34 Y[m]= 1,36

Raggio del cerchio R[m]= 5,84

Ascissa a valle del cerchio Xi[m]= -4,24

Ascissa a monte del cerchio Xs[m]= 5,35

Larghezza della striscia dx[m]= 0,38

Coefficiente di sicurezza C= 1.49

Le strisce sono numerate da monte verso valle

Caratteristiche delle strisce

Striscia	W	$\alpha(^{\circ})$	$W\sin\alpha$	$b/\cos\alpha$	$\phi$	c	u
1	404.55	70.60	381.57	1.15	26.56	0.000	0.000
2	1069.24	61.29	937.76	0.80	26.56	0.000	0.000
3	1526.64	54.15	1237.50	0.65	26.56	0.000	0.000
4	1882.84	48.12	1401.91	0.57	26.56	0.000	0.000
5	2173.47	42.74	1475.13	0.52	26.56	0.000	0.000
6	2415.69	37.80	1480.56	0.49	26.56	0.000	0.000
7	2619.36	33.17	1433.13	0.46	26.56	0.000	0.000
8	2795.06	28.78	1345.52	0.44	26.38	0.000	0.000
9	3006.16	24.56	1249.57	0.42	23.04	0.000	0.000
10	3118.81	20.48	1091.46	0.41	23.04	0.000	0.000
11	3209.66	16.51	912.37	0.40	23.04	0.000	0.000
12	3280.21	12.62	716.92	0.39	23.04	0.000	0.000
13	3331.53	8.79	509.27	0.39	23.04	0.000	0.000
14	3410.89	5.00	297.33	0.39	23.04	0.000	0.000
15	1758.99	1.23	37.79	0.38	23.04	0.000	0.000
16	1150.67	-2.53	-50.87	0.38	23.04	0.000	0.000
17	1050.56	-6.31	-115.46	0.39	23.04	0.000	0.000
18	1009.46	-10.11	-177.25	0.39	23.04	0.000	0.000
19	951.82	-13.96	-229.66	0.40	23.04	0.000	0.000
20	874.71	-17.88	-268.52	0.40	23.04	0.000	0.000
21	776.94	-21.88	-289.56	0.41	23.04	0.000	0.000
22	656.52	-26.00	-287.83	0.43	24.13	0.000	0.000
23	505.58	-30.27	-254.88	0.44	26.56	0.000	0.000
24	323.57	-34.74	-184.40	0.47	26.56	0.000	0.000
25	107.41	-39.47	-68.28	0.50	26.56	0.000	0.000

$\Sigma W_i = 425,7171$  [kN]

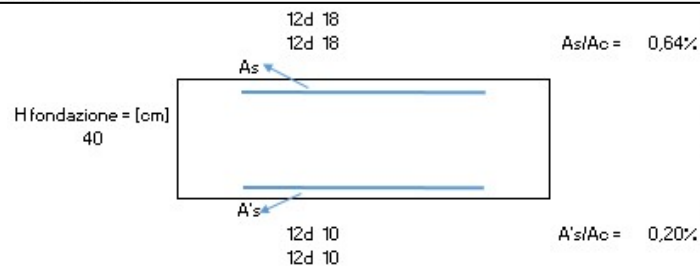
$\Sigma W_i \sin \alpha_i = 123,3804$  [kN]

$\Sigma W_i \tan \phi_i = 192,6866$  [kN]

$\Sigma \tan \alpha_i \tan \phi_i = 3.89$

## ALLEGATO C: SEZIONE 3 – H=4.40m

RELAZIONE TECNICA PER MURO DI SOSTEGNO PREFABBRICATO				H = 4,40 m
Approccio	2		Muro Tipo	T
<b>1 DATI DI PROGETTO</b>				
<b>1a) <u>Dati geotecnici</u></b>				
Angolo di attrito interno	gradi	$\phi$		32
Peso specifico	daN / m3	$\gamma$		1.900
Angolo di attrito terra - muro (valore prudenziale)	gradi	$\delta$		21
Angolo di inclinazione piano di campagna	gradi	$\epsilon$		0
Coesione	daN / cm2	c		0
<b>1b) <u>Carichi agenti</u></b>				
Sovraccarico variabile stradale / ferroviario	daN / m2	qa		2.000
Sovraccarico permanente	daN / m2	qp		0
Forza orizzontale in testa variabile (positivo tende lato monte)	daN / elemento	fv		0
Forza orizzontale in testa eccezionale (positivo tende lato monte)	daN / elemento	fe		2.500
Sovraccarico sulla fondazione a monte	daN / m2	q1		0
Momento in testa variabile (positivo tende lato monte)	daNm / elemento	momv		0
Momento in testa eccezionale (positivo tende lato monte)	daNm / elemento	mome		2.500
Forza verticale in testa (positivo di compressione)	daN / elemento	N		0
Braccio di N rispetto al paramento verticale (positivo verso nervature)	m	braccio		0,00
<b>1c) <u>Dati sismici</u></b>				
Classe d'Uso			SLV	
Vita Nominale	anni	Vn		50
Periodo di Riferimento	anni	Vr		75
Tempo di Ritorno	anni	Tr		712
Accelerazione orizzontale massima su un sito rigido	[g]	ag(g)		0,142
Categoria sottosuolo			B	
Categoria topografica			T1	
Fattore di amplificazione stratigrafica		Ss		1,20
Fattore di amplificazione topografica		St		1,00
<b>1d) <u>Morfologia del muro</u></b>				
Altezza del muro	m	h1		4,40
Distanza tra il punto di ribaltamento e il baricentro dell'elemento prefabbricato	m	Xc		0,87
Distanza tra il baricentro del pannello e la soletta	m			0,17
Peso elemento prefabbricato	daN	P		3.825
Angolo di inclinazione parete prefabbricato rispetto l'orizzontale	gradi	b		90
Larghezza elemento prefabbricato	m	b1		2,50
Dimensione appoggio muro	m	appoggio		0,88
Altezza sezione in sommità (tratto a sezione costante)	m			0,30
Pendenza nervatura	m	pendenza		20%
Larghezza nervatura / e	m	s		0,30
Spessore soletta	m	sol		0,10
<b>1e) <u>Morfologia della fondazione</u></b>				
Spessore massimo soletta di fondazione	m	h2		0,40
Spessore minimo soletta di fondazione lato monte	m	h3		0,40
Spessore minimo soletta di fondazione lato valle	m	h4		0,40
Larghezza fondazione	m	l		3,40
Dimensione sbalzo anteriore	m	sbalzo		0,70
Larghezza suola fondazione a monte	m	l1		2,60
Larghezza suola fuori nervatura	m	fo		1,90
Larghezza sottofondazione	m	lf		0,00
Altezza sottofondazione	m	hf		0,00
Sbalzo a valle sottofondazione	m	sbf		0,00
<b>1f) <u>Dati geotecnici terreno di fondazione</u></b>				
Angolo di attrito interno	gradi	$\phi$		28
Peso specifico	daN / m3	$\gamma$		1.800
Coesione	daN / cm2	c		0
Ricoprimento fondazione a valle	m	hr		0,70
<b>2) VERIFICHE FONDAZIONE</b>				
2a) <u>Verifica a traslazione</u>	combinazione dimensionante	A1+M1	$k_T$	> 1,10
2b) <u>Verifica a ribaltamento</u>	combinazione dimensionante	EQ	$k_R$	> 1,00
2c) <u>Verifica a capacità portante</u>	combinazione dimensionante	A1+M1	$k_P$	> 1,40
				$\sigma_{Tmax}$ daN / cm2

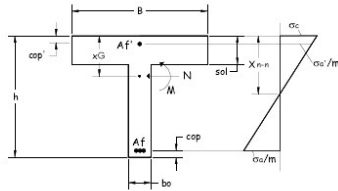




3a)	<u>Verifica fondazione di monte SLU (sezione d'incastro)</u> <u>Verifica fondazione di monte SISMICO (sezione d'incastro)</u>	$M_u / M_d$ $M_u / M_d$	Verifica soddisfatta Verifica soddisfatta
3b)	<u>Verifica fondazione di valle SLU (sezione d'incastro)</u> <u>Verifica fondazione di valle SISMICO (sezione d'incastro)</u>	$M_u / M_d$ $M_u / M_d$	Verifica soddisfatta Verifica soddisfatta
3c)	<u>Verifica fondazione di monte SLE RARA (sezione d'incastro)</u>	$\sigma_c$ [daN / cm <sup>2</sup> ] $\sigma_s$ [daN / cm <sup>2</sup> ]	$< \sigma_c$ lim 150 $< \sigma_s$ lim 3520
	<u>Verifica fondazione di monte SLE FREQUENTE (sezione d'incastro)</u>	Mcr [daNm]	$> M_e$
	<u>Verifica fondazione di monte SLE QUASI PERMANENTE (sezione d'incastro)</u>	$\sigma_c$ [daN / cm <sup>2</sup> ] Mcr [daNm]	$< \sigma_c$ lim 112,5 $> M_e$

**4 VERIFICHE PREFABBRICATO :**

4a) Verifica prefabbricato



Af'	4 $\Phi$ 10		
Af 1	4 $\Phi$ 18		
Af 2	4 $\Phi$ 18	L 2	2,90 m
Af 3	4 $\Phi$ 16	L 3	1,45 m
Af 4	0 $\Phi$ 0	L 4	0,00 m
Af 5	0 $\Phi$ 0	L 5	0,00 m

SLU								STAFFE			
d	h	$A_s$	$A_t$	$M_{s,d}$	$N_{s,d}$	$K_a$	$M_u$	$M_u/M_{s,d}$	Vrsd	Vrcd	Vsd
cm	cm	cm <sup>2</sup>	cm <sup>2</sup>	daN m	daN	daNm	daNm	$>1,00$	daN	daN	daN
145	30	10,18	3,14	8979	1391	9724	1,08	11029	36577	7199	
164	32,7	10,18	3,14	10317	1565	10761	1,04	12210	40495	8016	
291	58,2	18,22	3,14	24389	2782	36197	1,48	23218	77003	15160	
400	80,0	18,22	3,14	44735	3825	51323	1,15	32654	108295	23270	
5											

SISMICO								STAFFE			
d	h	$A_s$	$A_t$	$M_{s,d}$	$N_{s,d}$	$K_a$	$M_u$	$M_u/M_{s,d}$	Vrsd	Vrcd	Vsd
cm	cm	cm <sup>2</sup>	cm <sup>2</sup>	daN m	daN	daNm	daNm	$>1,00$	daN	daN	daN
145	30	10,18	3,14	7801	1391	9724	1,25	11029	36577	5205	
164	32,7	10,18	3,14	8809	1565	10761	1,22	12210	40495	5746	
291	58,2	18,22	3,14	19245	2782	36197	1,88	23218	77003	10804	
400	80,0	18,22	3,14	34399	3825	51323	1,49	32654	108295	16904	
5											

SLE				K_a		FREQUENTE		RARA		
d	h	$A_s$	$A_t$	Mcr	srm	Me	srm	wk<0,3	$\sigma_c < 210$	$\sigma_s < 3520$
cm	cm	cm <sup>2</sup>	cm <sup>2</sup>	daN m	mm	daNm	mm	mm	daN/cm <sup>2</sup>	daN/cm <sup>2</sup>
145	30	10,18	3,14	3266	-	1301	-	Mcr>Me	13	739
164	32,7	10,18	3,14	3759	-	1746	-	Mcr>Me	15	881
291	58,2	18,22	3,14	12638	0	7701	-	Mcr>Me	17	1100
400	80,0	18,22	3,14	20470	-	18098	-	Mcr>Me	23	1724
5										

QUASI PERMANENTE			
Me	srm=ccm	wk<0,2	$\sigma_c < 157,5$
daNm	mm	mm	daN/cm <sup>2</sup>
1030	-	Mcr>Me	7
1403	-	Mcr>Me	8
6617	-	Mcr>Me	11
16049	-	Mcr>Me	16
5			

4b)	<u>Verifica soletta nel piano orizzontale SLU</u> <u>Verifica soletta nel piano orizzontale SISMICO</u>	10 $\Phi$ 6	$M_u / M_d$ $M_u / M_d$	1,73 2,27
	<u>Verifica soletta nel piano orizzontale SLE RARA</u>	$\sigma_c$ [daN / cm <sup>2</sup> ] $\sigma_s$ [daN / cm <sup>2</sup> ]	44 1.618	$< \sigma_c$ lim 210 $< \sigma_s$ lim 3520
	<u>Verifica soletta nel piano orizzontale SLE FREQUENTE</u>	Mcr [daNm]	78	$> M_e$ 49
	<u>Verifica soletta nel piano orizzontale SLE QUASI PERMANENTE</u>	$\sigma_c$ [daN / cm <sup>2</sup> ] Mcr [daNm]	37 78	$< \sigma_c$ lim 157,5 $> M_e$ 47

## VERIFICHE DI STABILITÀ GLOBALE MURO-TERRENO ( H=4.40m)

Quadro riassuntivo coeff. di sicurezza calcolati

*Simbologia adottata*

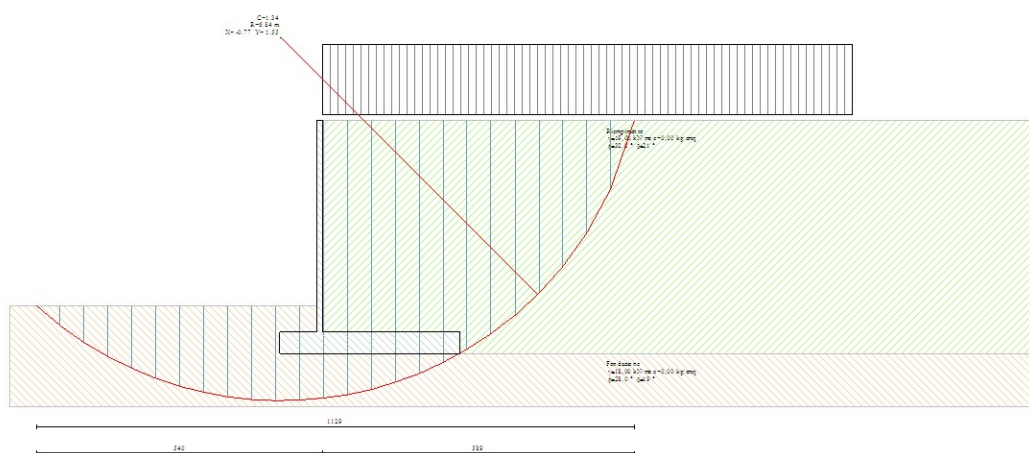
*C* Identificativo della combinazione

*Tipo* Tipo combinazione

*Sisma* Combinazione sismica

*CS<sub>STAB</sub>* Coeff. di sicurezza a stabilità globale

C	Tipo	Sisma	CS <sub>stab</sub>
4	STAB - [1]	--	1,34
11	STAB - [2]	Orizzontale + Verticale positivo	1,45
12	STAB - [2]	Orizzontale + Verticale negativo	1,45



### Geometria muro e fondazione

Descrizione	Muro a mensola in c.a.
Altezza del paramento	4,00 [m]
Spessore in sommità	0,10 [m]
Spessore all'attacco con la fondazione	0,10 [m]
Inclinazione paramento esterno	0,00 [°]
Inclinazione paramento interno	0,00 [°]
Lunghezza del muro	2,50 [m]
Spessore rivestimento	0,30 [m]
Peso sp. rivestimento	25,0000 [kN/mc]

Fondazione

Lunghezza mensola fondazione di valle	0,70 [m]
Lunghezza mensola fondazione di monte	2,60 [m]
Lunghezza totale fondazione	3,40 [m]
Inclinazione piano di posa della fondazione	0,00 [°]
Spessore fondazione	0,40 [m]
Spessore magrone	0,20 [m]

Contrafforti

Altezza contrafforti	4,00 [m]
Spessore contrafforti	0,15 [m]
Larghezza in sommità	0,20 [m]
Larghezza alla base	0,70 [m]
Interasse contrafforti	1,50 [m]
Numero contrafforti	2
Posizione :	Monte
Disposizione :	Sfalsati

Materiali utilizzati per la struttura

*Calcestruzzo*

Peso specifico	24,517 [kN/mc]
Resistenza caratteristica a compressione $R_{bk}$	250,0 [kg/cm <sup>q</sup> ]

*Acciaio*

Tipo	FeB44K
------	--------

Geometria profilo terreno a monte del muro

*Simbologia adottata e sistema di riferimento*

(Sistema di riferimento con origine in testa al muro, ascissa X positiva verso monte, ordinata Y positiva verso l'alto)

N numero ordine del punto

X ascissa del punto espressa in [m]

Y ordinata del punto espressa in [m]

A inclinazione del tratto espressa in [°]

N	X	Y	A
1	20,00	0,00	0,00

Terreno a valle del muro

Inclinazione terreno a valle del muro rispetto all'orizzontale 0,00 [°]  
 Altezza del rinterro rispetto all'attacco fondaz.valle-paramento 0,50 [m]

Descrizione terreni

*Simbologia adottata*

<i>Nr.</i>	Indice del terreno
<i>Descrizione</i>	Descrizione terreno
$\gamma$	Peso di volume del terreno espresso in [kN/mc]
$\gamma_s$	Peso di volume saturo del terreno espresso in [kN/mc]
$\phi$	Angolo d'attrito interno espresso in [°]
$\delta$	Angolo d'attrito terra-muro espresso in [°]
$c$	Coesione espressa in [kg/cm <sup>2</sup> ]
$c_a$	Adesione terra-muro espressa in [kg/cm <sup>2</sup> ]

<b>Descrizione</b>	<b><math>\gamma</math></b>	<b><math>\gamma_s</math></b>	<b><math>\phi</math></b>	<b><math>\delta</math></b>	<b><math>c</math></b>	<b><math>c_a</math></b>
Riempimento	19,00	19,00	32.00	21.33	0,000	0,000
Fondazione	18,00	18,00	28.00	18.67	0,000	0,000

Stratigrafia

Terreno spingente: Riempimento  
 Terreno di fondazione: Fondazione

Stabilità globale muro + terreno

Combinazione n° 4

Le ascisse X sono considerate positive verso monte

Le ordinate Y sono considerate positive verso l'alto

Origine in testa al muro (spigolo contro terra)

$W$	peso della striscia espresso in [kN]
$\alpha$	angolo fra la base della striscia e l'orizzontale espresso in [°] (positivo antiorario)
$\phi$	angolo d'attrito del terreno lungo la base della striscia
$c$	coesione del terreno lungo la base della striscia espressa in [kg/cm <sup>2</sup> ]
$b$	larghezza della striscia espressa in [m]
$u$	pressione neutra lungo la base della striscia espressa in [kg/cm <sup>2</sup> ]

Metodo di Bishop

Numero di cerchi analizzati 36  
 Numero di strisce 25

Cerchio critico

Coordinate del centro X[m]= -0,77 Y[m]= 1,55

Raggio del cerchio  $R[m]= 6,84$   
 Ascissa a valle del cerchio  $Xi[m]= -5,40$   
 Ascissa a monte del cerchio  $Xs[m]= 5,89$   
 Larghezza della striscia  $dx[m]= 0,45$   
 Coefficiente di sicurezza  $C= 1.34$

Le strisce sono numerate da monte verso valle

Caratteristiche delle strisce

Striscia	W	$\alpha(^{\circ})$	$W\sin\alpha$	$b/\cos\alpha$	$\phi$	c	u
1	1766.70	70.84	1668.88	1.38	26.56	0.000	0.000
2	2698.64	61.42	2369.85	0.94	26.56	0.000	0.000
3	3335.86	54.22	2706.42	0.77	26.56	0.000	0.000
4	3830.87	48.15	2853.53	0.68	26.56	0.000	0.000
5	4234.19	42.73	2873.32	0.62	26.56	0.000	0.000
6	4569.95	37.76	2798.63	0.57	26.56	0.000	0.000
7	4851.98	33.11	2650.33	0.54	26.56	0.000	0.000
8	5158.36	28.69	2476.54	0.51	24.14	0.000	0.000
9	5377.33	24.46	2226.13	0.50	23.04	0.000	0.000
10	5532.65	20.36	1924.68	0.48	23.04	0.000	0.000
11	5657.64	16.37	1594.19	0.47	23.04	0.000	0.000
12	5754.37	12.46	1241.11	0.46	23.04	0.000	0.000
13	5824.32	8.60	871.27	0.46	23.04	0.000	0.000
14	2736.81	4.79	228.53	0.45	23.04	0.000	0.000
15	1612.86	1.00	28.09	0.45	23.04	0.000	0.000
16	1516.11	-2.79	-73.79	0.45	23.04	0.000	0.000
17	1485.35	-6.59	-170.46	0.45	23.04	0.000	0.000
18	1429.28	-10.42	-258.48	0.46	23.04	0.000	0.000
19	1347.13	-14.30	-332.66	0.47	23.04	0.000	0.000
20	1237.68	-18.24	-387.44	0.48	23.04	0.000	0.000
21	1099.22	-22.28	-416.76	0.49	23.04	0.000	0.000
22	929.37	-26.44	-413.80	0.50	23.04	0.000	0.000
23	721.02	-30.76	-368.71	0.53	25.79	0.000	0.000
24	463.84	-35.28	-267.88	0.55	26.56	0.000	0.000
25	157.73	-40.07	-101.53	0.59	26.56	0.000	0.000

$\Sigma W_i= 719,1259$  [kN]  
 $\Sigma W_i\sin\alpha_i= 252,2308$  [kN]  
 $\Sigma W_i\tan\phi_i= 326,3943$  [kN]  
 $\Sigma \tan\alpha_i\tan\phi_i= 3.86$

### Stabilità globale muro + terreno

#### Combinazione n° 11

Le ascisse X sono considerate positive verso monte

Le ordinate Y sono considerate positive verso l'alto

Origine in testa al muro (spigolo contro terra)

- W peso della striscia espresso in [kN]
- $\alpha$  angolo fra la base della striscia e l'orizzontale espresso in [°] (positivo antiorario)
- $\phi$  angolo d'attrito del terreno lungo la base della striscia
- c coesione del terreno lungo la base della striscia espressa in [kg/cm<sup>q</sup>]
- b larghezza della striscia espressa in [m]
- u pressione neutra lungo la base della striscia espressa in [kg/cm<sup>q</sup>]

#### Metodo di Bishop

Numero di cerchi analizzati 36

Numero di strisce 25

#### Cerchio critico

Coordinate del centro X[m]= -0,39 Y[m]= 1,55

Raggio del cerchio R[m]= 6,66

Ascissa a valle del cerchio Xi[m]= -4,74

Ascissa a monte del cerchio Xs[m]= 6,09

Larghezza della striscia dx[m]= 0,43

Coefficiente di sicurezza C= 1.45

Le strisce sono numerate da monte verso valle

#### Caratteristiche delle strisce

Striscia	W	$\alpha(^{\circ})$	$W\sin\alpha$	$b/\cos\alpha$	$\phi$	c	u
1	516.89	70.61	487.58	1.31	26.56	0.000	0.000
2	1367.59	61.41	1200.88	0.91	26.56	0.000	0.000
3	1954.68	54.31	1587.66	0.74	26.56	0.000	0.000
4	2412.19	48.31	1801.34	0.65	26.56	0.000	0.000
5	2785.80	42.96	1898.37	0.59	26.56	0.000	0.000
6	3097.48	38.04	1908.67	0.55	26.56	0.000	0.000
7	3359.90	33.44	1851.29	0.52	26.56	0.000	0.000
8	3581.10	29.07	1739.76	0.50	26.56	0.000	0.000
9	3854.28	24.88	1621.31	0.48	23.29	0.000	0.000
10	4006.70	20.82	1424.38	0.46	23.04	0.000	0.000
11	4125.04	16.88	1197.72	0.45	23.04	0.000	0.000
12	4217.54	13.02	949.85	0.44	23.04	0.000	0.000
13	4285.59	9.21	686.03	0.44	23.04	0.000	0.000

14	4330.14	5.45	411.12	0.44	23.04	0.000	0.000
15	2518.38	1.71	75.08	0.43	23.04	0.000	0.000
16	1408.32	-2.02	-49.74	0.43	23.04	0.000	0.000
17	1289.02	-5.77	-129.48	0.44	23.04	0.000	0.000
18	1242.69	-9.53	-205.77	0.44	23.04	0.000	0.000
19	1172.89	-13.34	-270.61	0.45	23.04	0.000	0.000
20	1078.65	-17.21	-319.13	0.45	23.04	0.000	0.000
21	958.57	-21.16	-346.05	0.46	23.04	0.000	0.000
22	810.56	-25.22	-345.43	0.48	23.61	0.000	0.000
23	625.44	-29.43	-307.30	0.50	26.56	0.000	0.000
24	400.99	-33.81	-223.16	0.52	26.56	0.000	0.000
25	134.77	-38.44	-83.79	0.55	26.56	0.000	0.000

$$\Sigma W_i = 544,6230 \text{ [kN]}$$

$$\Sigma W_i \sin \alpha_i = 162,4063 \text{ [kN]}$$

$$\Sigma W_i \tan \phi_i = 246,7405 \text{ [kN]}$$

$$\Sigma \tan \alpha_i \tan \phi_i = 4.02$$

Stabilità globale muro + terreno

Combinazione n° 12

Le ascisse X sono considerate positive verso monte

Le ordinate Y sono considerate positive verso l'alto

Origine in testa al muro (spigolo contro terra)

W peso della striscia espresso in [kN]

$\alpha$  angolo fra la base della striscia e l'orizzontale espresso in [°] (positivo antiorario)

$\phi$  angolo d'attrito del terreno lungo la base della striscia

c coesione del terreno lungo la base della striscia espressa in [kg/cm<sup>2</sup>]

b larghezza della striscia espressa in [m]

u pressione neutra lungo la base della striscia espressa in [kg/cm<sup>2</sup>]

Metodo di Bishop

Numero di cerchi analizzati 36

Numero di strisce 25

Cerchio critico

Coordinate del centro X[m]= -0,77 Y[m]= 1,94

Raggio del cerchio R[m]= 7,18

Ascissa a valle del cerchio Xi[m]= -5,48

Ascissa a monte del cerchio Xs[m]= 6,14

Larghezza della striscia dx[m]= 0,46

Coefficiente di sicurezza  $C = 1.45$

Le strisce sono numerate da monte verso valle

Caratteristiche delle strisce

Striscia	W	$\alpha(^{\circ})$	$W\sin\alpha$	$b/\cos\alpha$	$\phi$	c	u
1	543.81	68.95	507.51	1.29	26.56	0.000	0.000
2	1454.42	60.28	1263.16	0.94	26.56	0.000	0.000
3	2103.34	53.42	1689.12	0.78	26.56	0.000	0.000
4	2614.41	47.56	1929.36	0.69	26.56	0.000	0.000
5	3033.83	42.30	2041.78	0.63	26.56	0.000	0.000
6	3384.68	37.45	2058.25	0.59	26.56	0.000	0.000
7	3680.50	32.90	1999.41	0.55	26.56	0.000	0.000
8	3968.64	28.58	1898.62	0.53	25.31	0.000	0.000
9	4235.30	24.43	1751.65	0.51	23.04	0.000	0.000
10	4399.92	20.41	1534.56	0.50	23.04	0.000	0.000
11	4533.01	16.50	1287.21	0.48	23.04	0.000	0.000
12	4636.70	12.66	1016.19	0.48	23.04	0.000	0.000
13	4712.52	8.88	727.45	0.47	23.04	0.000	0.000
14	3207.32	5.14	287.28	0.47	23.04	0.000	0.000
15	1631.04	1.42	40.41	0.47	23.04	0.000	0.000
16	1521.37	-2.29	-60.88	0.47	23.04	0.000	0.000
17	1492.53	-6.02	-156.44	0.47	23.04	0.000	0.000
18	1437.49	-9.77	-243.81	0.47	23.04	0.000	0.000
19	1355.54	-13.56	-317.75	0.48	23.04	0.000	0.000
20	1245.52	-17.41	-372.67	0.49	23.04	0.000	0.000
21	1105.82	-21.35	-402.54	0.50	23.04	0.000	0.000
22	934.16	-25.39	-400.60	0.51	23.04	0.000	0.000
23	722.71	-29.58	-356.77	0.53	26.10	0.000	0.000
24	463.03	-33.95	-258.60	0.56	26.56	0.000	0.000
25	155.18	-38.56	-96.73	0.59	26.56	0.000	0.000

$$\Sigma W_i = 574,4116 \text{ [kN]}$$

$$\Sigma W_i \sin \alpha_i = 170,2967 \text{ [kN]}$$

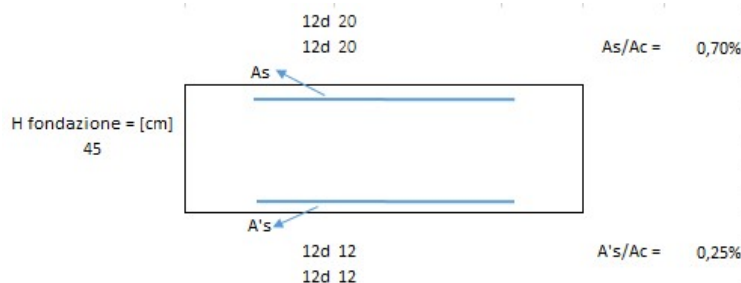
$$\Sigma W_i \tan \phi_i = 259,3847 \text{ [kN]}$$

$$\Sigma \tan \alpha_i \tan \phi_i = 3.75$$



## ALLEGATO D: SEZIONE 4 – H=4.95m

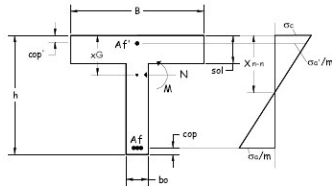
RELAZIONE TECNICA PER MURO DI SOSTEGNO PREFABBRICATO				H = 4,95 m
Approccio	2		Muro Tipo	T
<b>1   DATI DI PROGETTO</b>				
<b>1a) <u>Dati geotecnici</u></b>				
Angolo di attrito interno	gradi	$\phi$		32
Peso specifico	daN / m3	$\gamma$		1.900
Angolo di attrito terra - muro (valore prudenziale)	gradi	$\delta$		21
Angolo di inclinazione piano di campagna	gradi	$\varepsilon$		0
Coesione	daN / cm2	c		0
<b>1b) <u>Carichi agenti</u></b>				
Sovraccarico variabile stradale / ferroviario	daN / m2	qa		2.000
Sovraccarico permanente	daN / m2	qp		0
Forza orizzontale in testa variabile (positivo tende lato monte)	daN / elemento	fv		0
Forza orizzontale in testa eccezionale (positivo tende lato monte)	daN / elemento	fe		2.500
Sovraccarico sulla fondazione a monte	daN / m2	q1		0
Momento in testa variabile (positivo tende lato monte)	daNm / elemento	momv		0
Momento in testa eccezionale (positivo tende lato monte)	daNm / elemento	mome		2.500
Forza verticale in testa (positivo di compressione)	daN / elemento	N		0
Braccio di N rispetto al paramento verticale (positivo verso nervature)	m	braccio		0,00
<b>1c) <u>Dati sismici</u></b>				
Classe d'Uso			SLV	
Vita Nominale	anni		Cu	1,5
Periodo di Riferimento	anni		Vn	50
Tempo di Ritorno	anni		Vr	75
Accelerazione orizzontale massima su un sito rigido	[g]		Tr	712
Categoria sottosuolo			ag(g)	0,142
Categoria topografica				B
Fattore di amplificazione stratigrafica			T1	1,20
Fattore di amplificazione topografica			Ss	1,00
<b>1d) <u>Morfologia del muro</u></b>				
Altezza del muro	m		h1	4,95
Distanza tra il punto di ribaltamento e il baricentro dell'elemento prefabbricato	m		X <sub>C</sub>	0,89
Distanza tra il baricentro del pannello e la soletta	m			0,19
Peso elemento prefabbricato	daN		P	4.450
Angolo di inclinazione parete prefabbricato rispetto l'orizzontale	gradi		b	90
Larghezza elemento prefabbricato	m		b1	2,50
Dimensione appoggio muro	m		appoggio	0,99
Altezza sezione in sommità (tratto a sezione costante)	m			0,30
Pendenza nervatura	m		pendenza	20%
Larghezza nervatura / e	m		s	0,30
Spessore soletta	m		sol	0,10
<b>1e) <u>Morfologia della fondazione</u></b>				
Spessore massimo soletta di fondazione	m		h2	0,45
Spessore minimo soletta di fondazione lato monte	m		h3	0,45
Spessore minimo soletta di fondazione lato valle	m		h4	0,45
Larghezza fondazione	m		l	3,70
Dimensione sbalzo anteriore	m		sbalzo	0,70
Larghezza suola fondazione a monte	m		l1	2,90
Larghezza suola fuori nervatura	m		fo	2,10
Larghezza sottofondazione	m		lf	0,00
Altezza sottofondazione	m		hf	0,00
Sbalzo a valle sottofondazione	m		sbf	0,00
<b>1f) <u>Dati geotecnici terreno di fondazione</u></b>				
Angolo di attrito interno	gradi	$\phi$		28
Peso specifico	daN / m3	$\gamma$		1.800
Coesione	daN / cm2	c		0
Ricoprimento fondazione a valle	m		hr	0,70
<b>2a) <u>Verifica a traslazione</u></b>				
	combinazione dimensionante	A1+M1	$k_T$	> 1,10
<b>2b) <u>Verifica a ribaltamento</u></b>				
	combinazione dimensionante	EQ	$k_R$	> 1,00
<b>2c) <u>Verifica a capacità portante</u></b>				
	combinazione dimensionante	A1+M1	$k_P$	> 1,40
			$\sigma_{Tmax}$	daN / cm2
<b>3   VERIFICHE FONDAZIONE</b>				



3a)	<u>Verifica fondazione di monte SLU (sezione d'incastro)</u> <u>Verifica fondazione di monte SISMICO (sezione d'incastro)</u>	$M_u / M_d$ $M_u / M_d$	Verifica soddisfatta Verifica soddisfatta
3b)	<u>Verifica fondazione di valle SLU (sezione d'incastro)</u> <u>Verifica fondazione di valle SISMICO (sezione d'incastro)</u>	$M_u / M_d$ $M_u / M_d$	Verifica soddisfatta Verifica soddisfatta
3c)	<u>Verifica fondazione di monte SLE RARA (sezione d'incastro)</u>	$\sigma_c$ [daN / cm <sup>2</sup> ] $\sigma_s$ [daN / cm <sup>2</sup> ]	< $\sigma_c$ lim 150 < $\sigma_s$ lim 3520
	<u>Verifica fondazione di monte SLE FREQUENTE (sezione d'incastro)</u>	Mcr [daNm]	> Me
	<u>Verifica fondazione di monte SLE QUASI PERMANENTE (sezione d'incastro)</u>	$\sigma_c$ [daN / cm <sup>2</sup> ] Mcr [daNm]	< $\sigma_c$ lim 112,5 > Me

**4 VERIFICHE PREFABBRICATO :**

**4a) Verifica prefabbricato**



Af'	4	Φ 10		
Af 1	4	Φ 18		
Af 2	4	Φ 16	L 2	3,45 m
Af 3	4	Φ 20	L 3	3,31 m
Af 4	0	Φ 0	L 4	0,00 m
Af 5	0	Φ 0	L 5	0,00 m

SLU									STAFFE	diam. [mm]	passo [cm]
d	h	A <sub>s</sub>	A <sub>l</sub>	M <sub>s</sub>	N <sub>s</sub>	K <sub>a</sub>	M <sub>u</sub>	M <sub>u</sub> /M <sub>s</sub>	V <sub>rsd</sub>	V <sub>rcd</sub>	V <sub>sd</sub>
cm	cm	cm <sup>2</sup>	cm <sup>2</sup>	daNm	daN	daNm	daNm	>1,00	daN	daN	daN
143	30	10,18	3,14	8821	1416	9723	1,10	11072	36720	7100	
164	32,7	8,04	3,14	10316	1618	21212	2,06	12257	40650	8015	
205	40,9	20,61	3,14	13885	2022	27479	1,98	15795	52383	10038	
450	90,0	20,61	3,14	57201	4449	65770	1,15	37022	122783	27596	
5											

SISMICO									STAFFE	diam. [mm]	passo [cm]
d	h	A <sub>s</sub>	A <sub>l</sub>	M <sub>s</sub>	N <sub>s</sub>	K <sub>a</sub>	M <sub>u</sub>	M <sub>u</sub> /M <sub>s</sub>	V <sub>rsd</sub>	V <sub>rcd</sub>	V <sub>sd</sub>
cm	cm	cm <sup>2</sup>	cm <sup>2</sup>	daNm	daN	daNm	daNm	>1,00	daN	daN	daN
143	30	10,18	3,14	7737	1416	9723	1,26	11072	36720	5211	
164	32,7	8,04	3,14	8881	1618	21212	2,39	12257	40650	5827	
205	40,9	20,61	3,14	11583	2022	27479	2,37	15795	52383	7231	
450	90,0	20,61	3,14	44311	4449	65770	1,48	37022	122783	20456	
5											

SLE						FREQUENTE			RARA	
d	h	A <sub>s</sub>	A <sub>l</sub>	Mcr	srm	Me	esm	wk<0,3	$\sigma_c$ <210	$\sigma_s$ <3520
cm	cm	cm <sup>2</sup>	cm <sup>2</sup>	daNm	mm	daNm	mm	wk	daN/cm <sup>2</sup>	daN/cm <sup>2</sup>
143	30	10,18	3,14	3271	-	1251	-	Mcr>Me	13	707
164	32,7	8,04	3,14	5730	-	1745	-	Mcr>Me	11	446
205	40,9	20,61	3,14	8020	0	3074	-	Mcr>Me	12	584
450	90,0	20,61	3,14	25929	-	24950	-	Mcr>Me	25	1813
5										

QUASI PERMANENTE			
Me	esm<cm	wk	$\sigma_c$
daNm	mm	mm	daN/cm <sup>2</sup>
989	-	Mcr>Me	6
1402	-	Mcr>Me	6
2538	-	Mcr>Me	7
22357	-	Mcr>Me	18

4b)	<u>Verifica soletta nel piano orizzontale SLU</u> <u>Verifica soletta nel piano orizzontale SISMICO</u>	10 Φ 6	$M_u / M_d$ $M_u / M_d$	1,58 2,03
	<u>Verifica soletta nel piano orizzontale SLE RARA</u>	$\sigma_c$ [daN / cm <sup>2</sup> ] $\sigma_s$ [daN / cm <sup>2</sup> ]	48 1.777	< $\sigma_c$ lim 210 < $\sigma_s$ lim 3520
	<u>Verifica soletta nel piano orizzontale SLE FREQUENTE</u>	Mcr [daNm]	88	> Me 61
	<u>Verifica soletta nel piano orizzontale SLE QUASI PERMANENTE</u>	$\sigma_c$ [daN / cm <sup>2</sup> ] Mcr [daNm]	41 88	< $\sigma_c$ lim 157,5 > Me 59

## VERIFICHE DI STABILITÀ GLOBALE MURO-TERRENO ( H=4.95m)

Quadro riassuntivo coeff. di sicurezza calcolati

*Simbologia adottata*

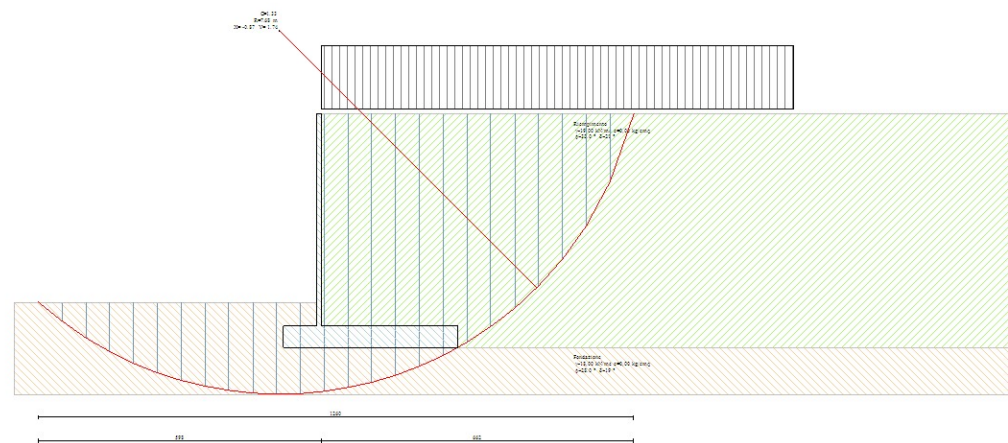
*C* Identificativo della combinazione

*Tipo* Tipo combinazione

*Sisma* Combinazione sismica

*CS<sub>STAB</sub>* Coeff. di sicurezza a stabilità globale

<i>C</i>	<i>Tipo</i>	<i>Sisma</i>	<i>CS<sub>STAB</sub></i>
4	STAB - [1]	--	1,33
11	STAB - [2]	Orizzontale + Verticale positivo	1,42
12	STAB - [2]	Orizzontale + Verticale negativo	1,41



### Geometria muro e fondazione

Descrizione	Muro a mensola in c.a.
Altezza del paramento	4,50 [m]
Spessore in sommità	0,10 [m]
Spessore all'attacco con la fondazione	0,10 [m]
Inclinazione paramento esterno	0,00 [°]
Inclinazione paramento interno	0,00 [°]
Lunghezza del muro	2,50 [m]
Spessore rivestimento	0,30 [m]
Peso sp. rivestimento	25,0000 [kN/mc]

Fondazione

Lunghezza mensola fondazione di valle	0,70 [m]
Lunghezza mensola fondazione di monte	2,90 [m]
Lunghezza totale fondazione	3,70 [m]
Inclinazione piano di posa della fondazione	0,00 [°]
Spessore fondazione	0,45 [m]
Spessore magrone	0,20 [m]

Contrafforti

Altezza contrafforti	4,50 [m]
Spessore contrafforti	0,15 [m]
Larghezza in sommità	0,20 [m]
Larghezza alla base	0,80 [m]
Interasse contrafforti	1,50 [m]
Numero contrafforti	2
Posizione :	Monte
Disposizione :	Sfalsati

Materiali utilizzati per la struttura

*Calcestruzzo*

Peso specifico	24,517 [kN/mc]
Resistenza caratteristica a compressione $R_{bk}$	250,0 [kg/cm <sup>2</sup> ]

*Acciaio*

Tipo	FeB44K
------	--------

Geometria profilo terreno a monte del muro

*Simbologia adottata e sistema di riferimento*

(Sistema di riferimento con origine in testa al muro, ascissa X positiva verso monte, ordinata Y positiva verso l'alto)

N numero ordine del punto  
 X ascissa del punto espressa in [m]  
 Y ordinata del punto espressa in [m]  
 A inclinazione del tratto espressa in [°]

N	X	Y	A
1	20,00	0,00	0,00

Terreno a valle del muro

Inclinazione terreno a valle del muro rispetto all'orizzontale 0,00 [°]  
 Altezza del rinterro rispetto all'attacco fondaz.valle-paramento 0,50 [m]

Descrizione terreni

*Simbologia adottata*

<i>Nr.</i>	Indice del terreno
<i>Descrizione</i>	Descrizione terreno
$\gamma$	Peso di volume del terreno espresso in [kN/mc]
$\gamma_s$	Peso di volume saturo del terreno espresso in [kN/mc]
$\phi$	Angolo d'attrito interno espresso in [°]
$\delta$	Angolo d'attrito terra-muro espresso in [°]
$c$	Coesione espressa in [kg/cm <sup>2</sup> ]
$c_a$	Adesione terra-muro espressa in [kg/cm <sup>2</sup> ]

<b>Descrizione</b>	<b><math>\gamma</math></b>	<b><math>\gamma_s</math></b>	<b><math>\phi</math></b>	<b><math>\delta</math></b>	<b><math>c</math></b>	<b><math>c_a</math></b>
Riempimento	19,00	19,00	32.00	21.33	0,000	0,000
Fondazione	18,00	18,00	28.00	18.67	0,000	0,000

Stratigrafia

Terreno spingente: Riempimento  
 Terreno di fondazione: Fondazione

Stabilità globale muro + terreno

Combinazione n° 4

Le ascisse X sono considerate positive verso monte

Le ordinate Y sono considerate positive verso l'alto

Origine in testa al muro (spigolo contro terra)

$W$	peso della striscia espresso in [kN]
$\alpha$	angolo fra la base della striscia e l'orizzontale espresso in [°] (positivo antiorario)
$\phi$	angolo d'attrito del terreno lungo la base della striscia
$c$	coesione del terreno lungo la base della striscia espressa in [kg/cm <sup>2</sup> ]
$b$	larghezza della striscia espressa in [m]
$u$	pressione neutra lungo la base della striscia espressa in [kg/cm <sup>2</sup> ]

Metodo di Bishop

Numero di cerchi analizzati 36

Numero di strisce 25

Cerchio critico

Coordinate del centro  $X[m] = -0,87$   $Y[m] = 1,74$

Raggio del cerchio  $R[m] = 7,68$

Ascissa a valle del cerchio  $X_i[m] = -5,98$

Ascissa a monte del cerchio  $X_s[m] = 6,62$

Larghezza della striscia  $dx[m] = 0,50$

Coefficiente di sicurezza  $C = 1.33$

Le strisce sono numerate da monte verso valle

Caratteristiche delle strisce

Striscia	W	$\alpha(^{\circ})$	$W \sin \alpha$	$b/\cos \alpha$	$\phi$	c	u
1	2044.57	70.87	1931.66	1.54	26.56	0.000	0.000
2	3206.40	61.51	2817.99	1.06	26.56	0.000	0.000
3	4001.99	54.33	3251.33	0.86	26.56	0.000	0.000
4	4620.38	48.28	3448.68	0.76	26.56	0.000	0.000
5	5124.54	42.89	3487.45	0.69	26.56	0.000	0.000
6	5544.57	37.93	3408.50	0.64	26.56	0.000	0.000
7	5897.72	33.30	3237.82	0.60	26.56	0.000	0.000
8	6271.90	28.90	3031.02	0.58	24.45	0.000	0.000
9	6557.94	24.68	2738.33	0.55	23.04	0.000	0.000
10	6753.39	20.60	2376.26	0.54	23.04	0.000	0.000
11	6911.16	16.63	1977.78	0.53	23.04	0.000	0.000
12	7033.86	12.74	1550.87	0.52	23.04	0.000	0.000
13	7123.35	8.91	1102.73	0.51	23.04	0.000	0.000
14	3686.29	5.11	328.55	0.51	23.04	0.000	0.000
15	1936.33	1.34	45.40	0.50	23.04	0.000	0.000
16	1831.43	-2.42	-77.34	0.50	23.04	0.000	0.000
17	1796.30	-6.19	-193.83	0.51	23.04	0.000	0.000
18	1729.95	-10.00	-300.30	0.51	23.04	0.000	0.000
19	1631.49	-13.84	-390.36	0.52	23.04	0.000	0.000
20	1499.50	-17.76	-457.28	0.53	23.04	0.000	0.000
21	1331.94	-21.76	-493.68	0.54	23.04	0.000	0.000
22	1126.02	-25.87	-491.34	0.56	23.04	0.000	0.000
23	874.31	-30.14	-438.96	0.58	25.45	0.000	0.000
24	562.72	-34.60	-319.51	0.61	26.56	0.000	0.000
25	191.77	-39.31	-121.50	0.65	26.56	0.000	0.000

$\Sigma W_i = 875,6479$  [kN]

$\Sigma W_i \sin \alpha_i = 308,4269$  [kN]

$\Sigma W_i \tan \phi_i = 397,5002$  [kN]

$\Sigma \tan \alpha_i \tan \phi_i = 3.96$

### Stabilità globale muro + terreno

#### Combinazione n° 11

Le ascisse X sono considerate positive verso monte

Le ordinate Y sono considerate positive verso l'alto

Origine in testa al muro (spigolo contro terra)

- W peso della striscia espresso in [kN]
- $\alpha$  angolo fra la base della striscia e l'orizzontale espresso in [°] (positivo antiorario)
- $\phi$  angolo d'attrito del terreno lungo la base della striscia
- c coesione del terreno lungo la base della striscia espressa in [kg/cmq]
- b larghezza della striscia espressa in [m]
- u pressione neutra lungo la base della striscia espressa in [kg/cmq]

#### Metodo di Bishop

Numero di cerchi analizzati 36

Numero di strisce 25

#### Cerchio critico

Coordinate del centro X[m]= -0,87 Y[m]= 2,17

Raggio del cerchio R[m]= 8,06

Ascissa a valle del cerchio Xi[m]= -6,06

Ascissa a monte del cerchio Xs[m]= 6,90

Larghezza della striscia dx[m]= 0,52

Coefficiente di sicurezza C= 1.42

Le strisce sono numerate da monte verso valle

#### Caratteristiche delle strisce

Striscia	W	$\alpha(^{\circ})$	$W\sin\alpha$	$b/\cos\alpha$	$\phi$	c	u
1	676.08	68.95	630.96	1.44	26.56	0.000	0.000
2	1809.92	60.38	1573.44	1.05	26.56	0.000	0.000
3	2619.94	53.55	2107.34	0.87	26.56	0.000	0.000
4	3258.24	47.70	2410.04	0.77	26.56	0.000	0.000
5	3782.42	42.46	2553.65	0.70	26.56	0.000	0.000
6	4221.24	37.64	2577.76	0.65	26.56	0.000	0.000
7	4591.61	33.11	2508.07	0.62	26.56	0.000	0.000
8	4941.42	28.80	2380.85	0.59	25.62	0.000	0.000
9	5288.78	24.67	2207.63	0.57	23.04	0.000	0.000
10	5495.96	20.67	1940.24	0.55	23.04	0.000	0.000
11	5664.01	16.78	1634.91	0.54	23.04	0.000	0.000
12	5795.58	12.96	1299.79	0.53	23.04	0.000	0.000
13	5892.61	9.20	942.23	0.53	23.04	0.000	0.000

14	4221.47	5.48	403.28	0.52	23.04	0.000	0.000
15	1958.18	1.79	61.02	0.52	23.04	0.000	0.000
16	1835.80	-1.90	-60.96	0.52	23.04	0.000	0.000
17	1803.44	-5.60	-175.97	0.52	23.04	0.000	0.000
18	1738.82	-9.32	-281.59	0.53	23.04	0.000	0.000
19	1641.08	-13.08	-371.40	0.53	23.04	0.000	0.000
20	1508.90	-16.90	-438.63	0.54	23.04	0.000	0.000
21	1340.36	-20.80	-475.93	0.55	23.04	0.000	0.000
22	1132.81	-24.80	-475.17	0.57	23.04	0.000	0.000
23	878.20	-28.94	-424.93	0.59	25.72	0.000	0.000
24	564.15	-33.25	-309.31	0.62	26.56	0.000	0.000
25	191.80	-37.79	-117.52	0.66	26.56	0.000	0.000

$$\Sigma W_i = 714,4536 \text{ [kN]}$$

$$\Sigma W_i \sin \alpha_i = 216,7283 \text{ [kN]}$$

$$\Sigma W_i \tan \phi_i = 322,8830 \text{ [kN]}$$

$$\Sigma \tan \alpha_i \tan \phi_i = 3.85$$

Stabilità globale muro + terreno

Combinazione n° 12

Le ascisse X sono considerate positive verso monte

Le ordinate Y sono considerate positive verso l'alto

Origine in testa al muro (spigolo contro terra)

W peso della striscia espresso in [kN]

$\alpha$  angolo fra la base della striscia e l'orizzontale espresso in [°] (positivo antiorario)

$\phi$  angolo d'attrito del terreno lungo la base della striscia

c coesione del terreno lungo la base della striscia espressa in [kg/cmq]

b larghezza della striscia espressa in [m]

u pressione neutra lungo la base della striscia espressa in [kg/cmq]

Metodo di Bishop

Numero di cerchi analizzati 36

Numero di strisce 25

Cerchio critico

Coordinate del centro X[m]= -0,87 Y[m]= 2,17

Raggio del cerchio R[m]= 8,06

Ascissa a valle del cerchio Xi[m]= -6,06

Ascissa a monte del cerchio Xs[m]= 6,90

Larghezza della striscia dx[m]= 0,52



Coefficiente di sicurezza  $C = 1.41$

Le strisce sono numerate da monte verso valle

Caratteristiche delle strisce

Striscia	W	$\alpha(^{\circ})$	$W\sin\alpha$	$b/\cos\alpha$	$\phi$	c	u
1	676.08	68.95	630.96	1.44	26.56	0.000	0.000
2	1809.92	60.38	1573.44	1.05	26.56	0.000	0.000
3	2619.94	53.55	2107.34	0.87	26.56	0.000	0.000
4	3258.24	47.70	2410.04	0.77	26.56	0.000	0.000
5	3782.42	42.46	2553.65	0.70	26.56	0.000	0.000
6	4221.24	37.64	2577.76	0.65	26.56	0.000	0.000
7	4591.61	33.11	2508.07	0.62	26.56	0.000	0.000
8	4941.42	28.80	2380.85	0.59	25.62	0.000	0.000
9	5288.78	24.67	2207.63	0.57	23.04	0.000	0.000
10	5495.96	20.67	1940.24	0.55	23.04	0.000	0.000
11	5664.01	16.78	1634.91	0.54	23.04	0.000	0.000
12	5795.58	12.96	1299.79	0.53	23.04	0.000	0.000
13	5892.61	9.20	942.23	0.53	23.04	0.000	0.000
14	4221.47	5.48	403.28	0.52	23.04	0.000	0.000
15	1958.18	1.79	61.02	0.52	23.04	0.000	0.000
16	1835.80	-1.90	-60.96	0.52	23.04	0.000	0.000
17	1803.44	-5.60	-175.97	0.52	23.04	0.000	0.000
18	1738.82	-9.32	-281.59	0.53	23.04	0.000	0.000
19	1641.08	-13.08	-371.40	0.53	23.04	0.000	0.000
20	1508.90	-16.90	-438.63	0.54	23.04	0.000	0.000
21	1340.36	-20.80	-475.93	0.55	23.04	0.000	0.000
22	1132.81	-24.80	-475.17	0.57	23.04	0.000	0.000
23	878.20	-28.94	-424.93	0.59	25.72	0.000	0.000
24	564.15	-33.25	-309.31	0.62	26.56	0.000	0.000
25	191.80	-37.79	-117.52	0.66	26.56	0.000	0.000

$$\Sigma W_i = 714,4536 \text{ [kN]}$$

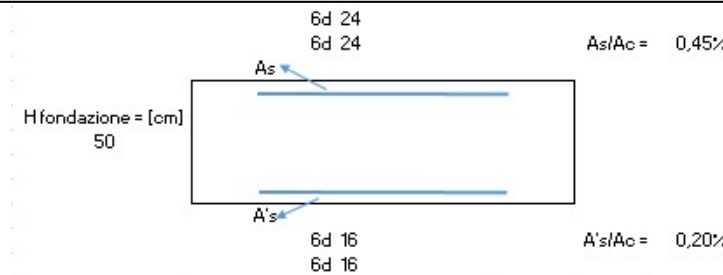
$$\Sigma W_i \sin \alpha_i = 216,7283 \text{ [kN]}$$

$$\Sigma W_i \tan \phi_i = 322,8830 \text{ [kN]}$$

$$\Sigma \tan \alpha_i \tan \phi_i = 3.85$$

## ALLEGATO E: SEZIONE 5 – H=5.50m

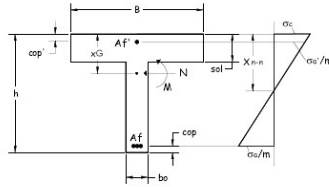
RELAZIONE TECNICA PER MURO DI SOSTEGNO PREFABBRICATO				H = 5,50 m
Approccio	2		Muro Tipo	T
<b>1 DATI DI PROGETTO</b>				
1a)	<b>Dati geotecnici</b>			
	Angolo di attrito interno	gradi	$\phi$	32
	Peso specifico	daN / m3	$\gamma$	1.900
	Angolo di attrito terra - muro (valore prudenziale)	gradi	$\delta$	21
	Angolo di inclinazione piano di campagna	gradi	$\varepsilon$	0
	Coesione	daN / cm2	c	0
1b)	<b>Carichi agenti</b>			
	Sovraccarico variabile stradale / ferroviario	daN / m2	qa	2.000
	Sovraccarico permanente	daN / m2	qp	0
	Forza orizzontale in testa variabile (positivo tende lato monte)	daN / elemento	fv	0
	Forza orizzontale in testa eccezionale (positivo tende lato monte)	daN / elemento	fe	2.500
	Sovraccarico sulla fondazione a monte	daN / m2	q1	0
	Momento in testa variabile (positivo tende lato monte)	daNm / elemento	momv	0
	Momento in testa eccezionale (positivo tende lato monte)	daNm / elemento	mome	2.500
	Forza verticale in testa (positivo di compressione)	daN / elemento	N	0
	Braccio di N rispetto al paramento verticale (positivo verso nervature)	m	braccio	0,00
1c)	<b>Dati sismici</b>			
	Classe d'Uso		SLV	
	Vita Normale	anni	Cu	1,5
	Periodo di Riferimento	anni	Vn	50
	Tempo di Ritorno	anni	Vr	75
	Accelerazione orizzontale massima su un sito rigido	[g]	Tr	712
	Categoria sottosuolo		ag(g)	0,142
	Categoria topografica			B
	Fattore di amplificazione stratigrafica		Ss	T1
	Fattore di amplificazione topografica		St	1,20
1d)	<b>Morfologia del muro</b>			
	Altezza del muro	m	h1	5,50
	Distanza tra il punto di ribaltamento e il baricentro dell'elemento prefabbricato	m	X <sub>G</sub>	1,32
	Distanza tra il baricentro del pannello e la soletta	m		0,22
	Peso elemento prefabbricato	daN	P	5,100
	Angolo di inclinazione parete prefabbricato rispetto l'orizzontale	gradi	b	90
	Larghezza elemento prefabbricato	m	b1	2,50
	Dimensione appoggio muro	m	appoggio	1,10
	Altezza sezione in sommità (tratto a sezione costante)	m		0,30
	Pendenza nervatura	m	pendenza	20%
	Larghezza nervatura / e	m	s	0,30
	Spessore soletta	m	sol	0,10
1e)	<b>Morfologia della fondazione</b>			
	Spessore massimo soletta di fondazione	m	h2	0,50
	Spessore minimo soletta di fondazione lato monte	m	h3	0,50
	Spessore minimo soletta di fondazione lato valle	m	h4	0,50
	Larghezza fondazione	m	l	4,00
	Dimensione sbalzo anteriore	m	sbalzo	1,10
	Larghezza suola fondazione a monte	m	l1	2,80
	Larghezza suola fuori nervatura	m	fo	1,90
	Larghezza sottofondazione	m	lf	0,00
	Altezza sottofondazione	m	hf	0,00
	Sbalzo a valle sottofondazione	m	sbf	0,00
1f)	<b>Dati geotecnici terreno di fondazione</b>			
	Angolo di attrito interno	gradi	$\phi$	28
	Peso specifico	daN / m3	$\gamma$	1.800
	Coesione	daN / cm2	c	0
	Ricoprimento fondazione a valle	m	hr	0,70
-----				
2a)	<b>Verifica a traslazione</b>	combinazione dimensionante	A1+M1	$k_T$ > 1,10
2b)	<b>Verifica a ribaltamento</b>	combinazione dimensionante	EQ	$k_R$ > 1,00
2c)	<b>Verifica a capacità portante</b>	combinazione dimensionante	A1+M1	$k_P$ > 1,40 $\sigma_{Tmax}$ daN / cm2
<b>3 VERIFICHE FONDAZIONE</b>				



3a)	<u>Verifica fondazione di monte SLU (sezione d'incastro)</u> <u>Verifica fondazione di monte SISMICO (sezione d'incastro)</u>	$M_u / M_d$ $M_u / M_d$	Verifica soddisfatta Verifica soddisfatta
3b)	<u>Verifica fondazione di valle SLU (sezione d'incastro)</u> <u>Verifica fondazione di valle SISMICO (sezione d'incastro)</u>	$M_u / M_d$ $M_u / M_d$	Verifica soddisfatta Verifica soddisfatta
3c)	<u>Verifica fondazione di monte SLE RARA (sezione d'incastro)</u>	$\sigma_c$ [daN / cm <sup>2</sup> ] $\sigma_s$ [daN / cm <sup>2</sup> ]	$< \sigma_c$ lim 150 $< \sigma_s$ lim 3520
	<u>Verifica fondazione di monte SLE FREQUENTE (sezione d'incastro)</u>	Mcr [daNm]	$> M_e$
	<u>Verifica fondazione di monte SLE QUASI PERMANENTE (sezione d'incastro)</u>	$\sigma_c$ [daN / cm <sup>2</sup> ] Mcr [daNm]	$< \sigma_c$ lim 112,5 $> M_e$

**4 VERIFICHE PREFABBRICATO :**

4a) Verifica prefabbricato



Af'	4	Φ 10		
Af 1	4	Φ 18		
Af 2	4	Φ 20	L 2	4,00 m
Af 3	4	Φ 20	L 3	2,18 m
Af 4	0	Φ 0	L 4	0,00 m
Af 5	0	Φ 0	L 5	0,00 m

SLU								STAFFE	diam. [mm]	passo [cm]	
d	h	A <sub>s</sub>	A <sub>s</sub>	M <sub>s,u</sub>	N <sub>s,u</sub>	Ka	Mu	Mu/M <sub>s,u</sub>	Vr <sub>sd</sub>	Vr <sub>cd</sub>	V <sub>sd</sub>
cm	cm	cm <sup>2</sup>	cm <sup>2</sup>	daNm	daN	daNm	daNm	>1.00	daN	daN	daN
136	30	10,18	3,14	8365	1391	9727	1,16	10986	36433	6811	
159	31,8	12,57	3,14	9972	1623	12749	1,28	11768	39029	7809	
2	318	63,6	25,13	28679	3246	54666	1,91	25531	84674	17020	
3	500	100,0	25,13	71973	5100	89406	1,24	41261	136839	32321	
4											
5											

SISMICO								STAFFE	diam. [mm]	passo [cm]	
d	h	A <sub>s</sub>	A <sub>s</sub>	M <sub>s,u</sub>	N <sub>s,u</sub>	Ka	Mu	Mu/M <sub>s,u</sub>	Vr <sub>sd</sub>	Vr <sub>cd</sub>	V <sub>sd</sub>
cm	cm	cm <sup>2</sup>	cm <sup>2</sup>	daNm	daN	daNm	daNm	>1.00	daN	daN	daN
136	30	10,18	3,14	7365	1391	9727	1,32	10986	36433	4992	
159	31,8	12,57	3,14	8591	1623	12749	1,48	11768	39029	5654	
2	318	63,6	25,13	22584	3246	54666	2,42	25531	84674	12267	
3	500	100,0	25,13	55312	5100	89406	1,62	41261	136839	24056	
4											
5											

SLE				FREQUENTE		RARA			
d	h	A <sub>s</sub>	A <sub>s</sub>	Mcr	srm	wk<0,3	$\sigma_c < 210$	$\sigma_c < 3520$	
cm	cm	cm <sup>2</sup>	cm <sup>2</sup>	daNm	mm	daNm	mm	daN/cm <sup>2</sup>	
136	30	10,18	3,14	3260	-	1110	-	Mcr>Me 11	629
159	31,8	12,57	3,14	4024	-	1628	-	Mcr>Me 13	694
2	318	63,6	25,13	17254	0	9778	-	Mcr>Me 17	909
3	500	100,0	25,13	33311	102	33356	0,00	0,05	26
4									
5									

QUASI PERMANENTE			
Me	esm=ccm	wk<0,2	$\sigma_c < 157,5$
daNm	mm	mm	daN/cm <sup>2</sup>
872	-	Mcr>Me	6
1303	-	Mcr>Me	7
8481	-	Mcr>Me	11
30154	-	Mcr>Me	19

4b)	<u>Verifica soletta nel piano orizzontale SLU</u> <u>Verifica soletta nel piano orizzontale SISMICO</u>	10 Φ 6	$M_u / M_d$ $M_u / M_d$	1,46 1,87
	<u>Verifica soletta nel piano orizzontale SLE RARA</u>	$\sigma_c$ [daN / cm <sup>2</sup> ] $\sigma_s$ [daN / cm <sup>2</sup> ]	52 1,932	$< \sigma_c$ lim 210 $< \sigma_s$ lim 3520
	<u>Verifica soletta nel piano orizzontale SLE FREQUENTE</u>	Mcr [daNm]	98	$> M_e$ 75
	<u>Verifica soletta nel piano orizzontale SLE QUASI PERMANENTE</u>	$\sigma_c$ [daN / cm <sup>2</sup> ] Mcr [daNm]	46 98	$< \sigma_c$ lim 157,5 $> M_e$ 72

## VERIFICHE DI STABILITÀ GLOBALE MURO-TERRENO ( H=5.50m)

Quadro riassuntivo coeff. di sicurezza calcolati

*Simbologia adottata*

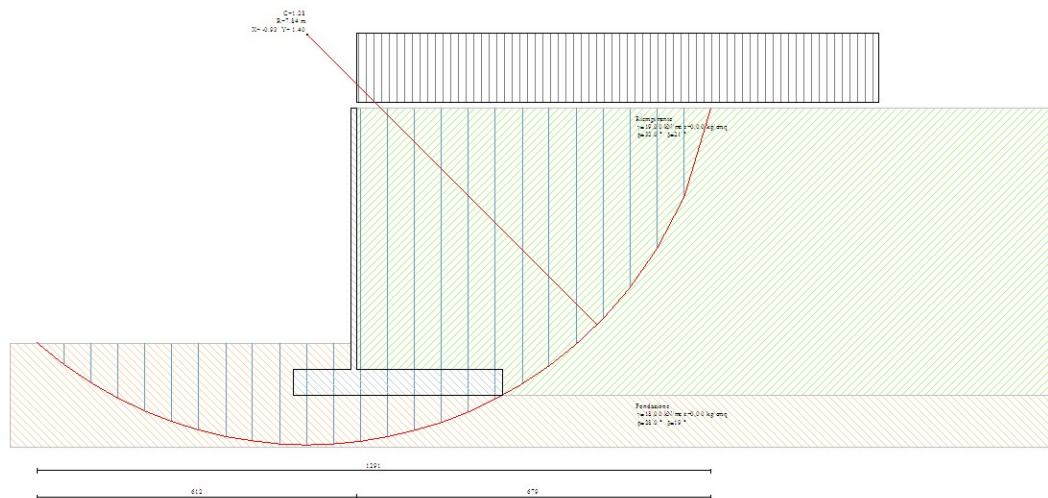
*C* Identificativo della combinazione

*Tipo* Tipo combinazione

*Sisma* Combinazione sismica

*CS<sub>STAB</sub>* Coeff. di sicurezza a stabilità globale

C	Tipo	Sisma	CS <sub>stab</sub>
4	STAB - [1]	--	1,28
11	STAB - [2]	Orizzontale + Verticale positivo	1,35
12	STAB - [2]	Orizzontale + Verticale negativo	1,34



### Geometria muro e fondazione

Descrizione	Muro a mensola in c.a.
Altezza del paramento	5,00 [m]
Spessore in sommità	0,10 [m]
Spessore all'attacco con la fondazione	0,10 [m]
Inclinazione paramento esterno	0,00 [°]
Inclinazione paramento interno	0,00 [°]
Lunghezza del muro	2,50 [m]
Spessore rivestimento	0,30 [m]
Peso sp. rivestimento	25,0000 [kN/mc]

### Fondazione

Lunghezza mensola fondazione di valle	1,10 [m]
Lunghezza mensola fondazione di monte	2,80 [m]
Lunghezza totale fondazione	4,00 [m]
Inclinazione piano di posa della fondazione	0,00 [°]
Spessore fondazione	0,50 [m]
Spessore magrone	0,20 [m]

Contrafforti

Altezza contrafforti	5,00 [m]
Spessore contrafforti	0,15 [m]
Larghezza in sommità	0,20 [m]
Larghezza alla base	0,90 [m]
Interasse contrafforti	1,50 [m]
Numero contrafforti	2
Posizione :	Monte
Disposizione :	Sfalsati

Materiali utilizzati per la struttura

*Calcestruzzo*

Peso specifico	24,517 [kN/mc]
Resistenza caratteristica a compressione $R_{bk}$	250,0 [kg/cmq]

*Acciaio*

Tipo	FeB44K
------	--------

Geometria profilo terreno a monte del muro

*Simbologia adottata e sistema di riferimento*

(Sistema di riferimento con origine in testa al muro, ascissa X positiva verso monte, ordinata Y positiva verso l'alto)

N numero ordine del punto

X ascissa del punto espressa in [m]

Y ordinata del punto espressa in [m]

A inclinazione del tratto espressa in [°]

N	X	Y	A
1	20,00	0,00	0,00

Terreno a valle del muro

Inclinazione terreno a valle del muro rispetto all'orizzontale 0,00 [°]

Altezza del rinterro rispetto all'attacco fondaz.valle-paramento 0,50 [m]

Descrizione terreni

*Simbologia adottata*

<i>Nr.</i>	Indice del terreno
<i>Descrizione</i>	Descrizione terreno
$\gamma$	Peso di volume del terreno espresso in [kN/mc]
$\gamma_s$	Peso di volume saturo del terreno espresso in [kN/mc]
$\phi$	Angolo d'attrito interno espresso in [°]
$\delta$	Angolo d'attrito terra-muro espresso in [°]
<i>c</i>	Coesione espressa in [kg/cm <sup>q</sup> ]
<i>c<sub>a</sub></i>	Adesione terra-muro espressa in [kg/cm <sup>q</sup> ]

Descrizione	$\gamma$	$\gamma_s$	$\phi$	$\delta$	<i>c</i>	<i>c<sub>a</sub></i>
Riempimento	19,00	19,00	32.00	21.33	0,000	0,000
Fondazione	18,00	18,00	28.00	18.67	0,000	0,000

Stratigrafia

Terreno spingente: Riempimento  
 Terreno di fondazione: Fondazione

Stabilità globale muro + terreno

Combinazione n° 4

Le ascisse X sono considerate positive verso monte

Le ordinate Y sono considerate positive verso l'alto

Origine in testa al muro (spigolo contro terra)

<i>W</i>	peso della striscia espresso in [kN]
$\alpha$	angolo fra la base della striscia e l'orizzontale espresso in [°] (positivo antiorario)
$\phi$	angolo d'attrito del terreno lungo la base della striscia
<i>c</i>	coesione del terreno lungo la base della striscia espressa in [kg/cm <sup>q</sup> ]
<i>b</i>	larghezza della striscia espressa in [m]
<i>u</i>	pressione neutra lungo la base della striscia espressa in [kg/cm <sup>q</sup> ]

Metodo di Bishop

Numero di cerchi analizzati 36

Numero di strisce 25

Cerchio critico

Coordinate del centro X[m]= -0,93 Y[m]= 1,40

Raggio del cerchio R[m]= 7,84

Ascissa a valle del cerchio  $X_i[m] = -6,12$   
 Ascissa a monte del cerchio  $X_s[m] = 6,79$   
 Larghezza della striscia  $dx[m] = 0,52$   
 Coefficiente di sicurezza  $C = 1.28$   
 Le strisce sono numerate da monte verso valle

Caratteristiche delle strisce

Striscia	W	$\alpha(^{\circ})$	$W\sin\alpha$	$b/\cos\alpha$	$\phi$	c	u
1	2217.07	73.07	2120.94	1.77	26.56	0.000	0.000
2	3564.63	62.65	3166.28	1.12	26.56	0.000	0.000
3	4436.07	55.24	3644.28	0.91	26.56	0.000	0.000
4	5105.74	49.05	3856.22	0.79	26.56	0.000	0.000
5	5648.98	43.57	3893.32	0.71	26.56	0.000	0.000
6	6100.43	38.55	3801.93	0.66	26.56	0.000	0.000
7	6479.56	33.87	3610.97	0.62	26.56	0.000	0.000
8	6837.27	29.43	3359.67	0.59	25.67	0.000	0.000
9	7201.58	25.18	3064.15	0.57	23.04	0.000	0.000
10	7411.84	21.08	2665.31	0.55	23.04	0.000	0.000
11	7582.03	17.08	2227.05	0.54	23.04	0.000	0.000
12	7714.99	13.17	1757.94	0.53	23.04	0.000	0.000
13	7812.79	9.32	1265.65	0.52	23.04	0.000	0.000
14	4076.27	5.52	391.87	0.52	23.04	0.000	0.000
15	2046.47	1.73	61.96	0.52	23.04	0.000	0.000
16	1962.63	-2.04	-69.84	0.52	23.04	0.000	0.000
17	1853.55	-5.82	-188.03	0.52	23.04	0.000	0.000
18	1787.08	-9.63	-298.99	0.52	23.04	0.000	0.000
19	1686.90	-13.48	-393.33	0.53	23.04	0.000	0.000
20	1551.57	-17.40	-463.98	0.54	23.04	0.000	0.000
21	1379.01	-21.40	-503.21	0.55	23.04	0.000	0.000
22	1166.33	-25.52	-502.45	0.57	23.04	0.000	0.000
23	904.25	-29.78	-449.13	0.59	25.94	0.000	0.000
24	580.96	-34.24	-326.85	0.62	26.56	0.000	0.000
25	196.52	-38.94	-123.52	0.66	26.56	0.000	0.000

$\Sigma W_i = 954,2464$  [kN]  
 $\Sigma W_i \sin\alpha_i = 348,8107$  [kN]  
 $\Sigma W_i \tan\phi_i = 435,2473$  [kN]  
 $\Sigma \tan\alpha_i \tan\phi_i = 4.35$

Stabilità globale muro + terreno

### Combinazione n° 11

Le ascisse X sono considerate positive verso monte

Le ordinate Y sono considerate positive verso l'alto

Origine in testa al muro (spigolo contro terra)

- W      peso della striscia espresso in [kN]
- $\alpha$     angolo fra la base della striscia e l'orizzontale espresso in [°] (positivo antiorario)
- $\phi$     angolo d'attrito del terreno lungo la base della striscia
- c      coesione del terreno lungo la base della striscia espressa in [kg/cmq]
- b      larghezza della striscia espressa in [m]
- u      pressione neutra lungo la base della striscia espressa in [kg/cmq]

Metodo di Bishop

Numero di cerchi analizzati    36

Numero di strisce                25

Cerchio critico

Coordinate del centro X[m]= -0,93    Y[m]= 1,87

Raggio del cerchio    R[m]= 8,26

Ascissa a valle del cerchio    Xi[m]= -6,20

Ascissa a monte del cerchio    Xs[m]= 7,12

Larghezza della striscia        dx[m]= 0,53

Coefficiente di sicurezza        C= 1.35

Le strisce sono numerate da monte verso valle

Caratteristiche delle strisce

Striscia	W	$\alpha(^{\circ})$	Wsin $\alpha$	b/cos $\alpha$	$\phi$	c	u
1	798.61	70.99	755.04	1.64	26.56	0.000	0.000
2	2108.05	61.69	1855.92	1.12	26.56	0.000	0.000
3	3006.01	54.59	2450.12	0.92	26.56	0.000	0.000
4	3705.30	48.60	2779.55	0.81	26.56	0.000	0.000
5	4276.47	43.27	2931.03	0.73	26.56	0.000	0.000
6	4753.31	38.37	2950.34	0.68	26.56	0.000	0.000
7	5155.23	33.78	2866.51	0.64	26.56	0.000	0.000
8	5494.59	29.43	2700.09	0.61	26.56	0.000	0.000
9	5909.01	25.26	2521.95	0.59	23.44	0.000	0.000
10	6150.20	21.24	2227.58	0.57	23.04	0.000	0.000
11	6333.56	17.31	1884.88	0.56	23.04	0.000	0.000
12	6477.88	13.47	1509.44	0.55	23.04	0.000	0.000
13	6585.31	9.70	1109.16	0.54	23.04	0.000	0.000
14	4839.47	5.96	502.56	0.54	23.04	0.000	0.000



15	2057.24	2.25	80.78	0.53	23.04	0.000	0.000
16	1997.41	-1.45	-50.56	0.53	23.04	0.000	0.000
17	1868.11	-5.16	-167.93	0.54	23.04	0.000	0.000
18	1803.82	-8.89	-278.65	0.54	23.04	0.000	0.000
19	1704.53	-12.65	-373.40	0.55	23.04	0.000	0.000
20	1568.89	-16.48	-445.01	0.56	23.04	0.000	0.000
21	1394.93	-20.38	-485.77	0.57	23.04	0.000	0.000
22	1179.92	-24.38	-487.12	0.59	23.04	0.000	0.000
23	913.77	-28.52	-436.28	0.61	26.20	0.000	0.000
24	586.83	-32.83	-318.10	0.63	26.56	0.000	0.000
25	199.29	-37.35	-120.91	0.67	26.56	0.000	0.000

$\Sigma W_i = 793,0543$  [kN]

$\Sigma W_i \sin \alpha_i = 254,5964$  [kN]

$\Sigma W_i \tan \phi_i = 360,4019$  [kN]

$\Sigma \tan \alpha_i \tan \phi_i = 4.21$

Stabilità globale muro + terreno

Combinazione n° 12

Le ascisse X sono considerate positive verso monte

Le ordinate Y sono considerate positive verso l'alto

Origine in testa al muro (spigolo contro terra)

W peso della striscia espresso in [kN]

$\alpha$  angolo fra la base della striscia e l'orizzontale espresso in [°] (positivo antiorario)

$\phi$  angolo d'attrito del terreno lungo la base della striscia

c coesione del terreno lungo la base della striscia espressa in [kg/cmq]

b larghezza della striscia espressa in [m]

u pressione neutra lungo la base della striscia espressa in [kg/cmq]

Metodo di Bishop

Numero di cerchi analizzati 36

Numero di strisce 25

Cerchio critico

Coordinate del centro X[m]= -0,93 Y[m]= 1,87

Raggio del cerchio R[m]= 8,26

Ascissa a valle del cerchio Xi[m]= -6,20

Ascissa a monte del cerchio Xs[m]= 7,12

Larghezza della striscia dx[m]= 0,53

Coefficiente di sicurezza C= 1.34

Le strisce sono numerate da monte verso valle

Caratteristiche delle strisce

Striscia	W	$\alpha(^{\circ})$	$W\sin\alpha$	$b/\cos\alpha$	$\phi$	c	u
1	798.61	70.99	755.04	1.64	26.56	0.000	0.000
2	2108.05	61.69	1855.92	1.12	26.56	0.000	0.000
3	3006.01	54.59	2450.12	0.92	26.56	0.000	0.000
4	3705.30	48.60	2779.55	0.81	26.56	0.000	0.000
5	4276.47	43.27	2931.03	0.73	26.56	0.000	0.000
6	4753.31	38.37	2950.34	0.68	26.56	0.000	0.000
7	5155.23	33.78	2866.51	0.64	26.56	0.000	0.000
8	5494.59	29.43	2700.09	0.61	26.56	0.000	0.000
9	5909.01	25.26	2521.95	0.59	23.44	0.000	0.000
10	6150.20	21.24	2227.58	0.57	23.04	0.000	0.000
11	6333.56	17.31	1884.88	0.56	23.04	0.000	0.000
12	6477.88	13.47	1509.44	0.55	23.04	0.000	0.000
13	6585.31	9.70	1109.16	0.54	23.04	0.000	0.000
14	4839.47	5.96	502.56	0.54	23.04	0.000	0.000
15	2057.24	2.25	80.78	0.53	23.04	0.000	0.000
16	1997.41	-1.45	-50.56	0.53	23.04	0.000	0.000
17	1868.11	-5.16	-167.93	0.54	23.04	0.000	0.000
18	1803.82	-8.89	-278.65	0.54	23.04	0.000	0.000
19	1704.53	-12.65	-373.40	0.55	23.04	0.000	0.000
20	1568.89	-16.48	-445.01	0.56	23.04	0.000	0.000
21	1394.93	-20.38	-485.77	0.57	23.04	0.000	0.000
22	1179.92	-24.38	-487.12	0.59	23.04	0.000	0.000
23	913.77	-28.52	-436.28	0.61	26.20	0.000	0.000
24	586.83	-32.83	-318.10	0.63	26.56	0.000	0.000
25	199.29	-37.35	-120.91	0.67	26.56	0.000	0.000

$\Sigma W_i = 793,0543$  [kN]

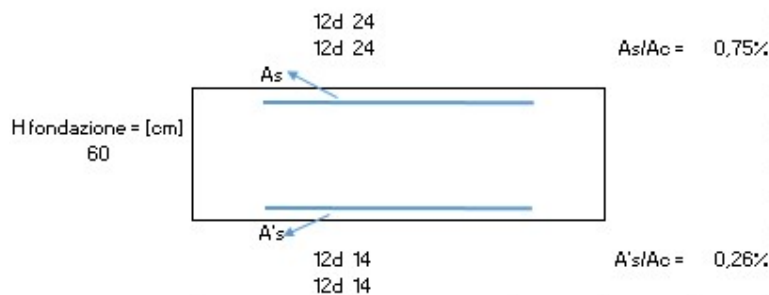
$\Sigma W_i \sin\alpha_i = 254,5964$  [kN]

$\Sigma W_i \tan\phi_i = 360,4019$  [kN]

$\Sigma \tan\alpha_i \tan\phi_i = 4.21$

## ALLEGATO F: SEZIONE 6 – H=6.60m

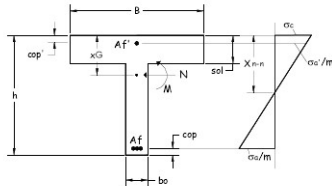
RELAZIONE TECNICA PER MURO DI SOSTEGNO PREFABBRICATO				H = 6,60 m
Approccio	2		Muro Tipo	T
<b>1 DATI DI PROGETTO</b>				
<b>1a) Dati geotecnici</b>				
	Angolo di attrito interno	gradi	$\phi$	32
	Peso specifico	daN / m3	$\gamma$	1.900
	Angolo di attrito terra - muro (valore prudenziale)	gradi	$\delta$	21
	Angolo di inclinazione piano di campagna	gradi	$\varepsilon$	0
	Coesione	daN / cm2	c	0
<b>1b) Carichi agenti</b>				
	Sovraccarico variabile stradale / ferroviario	daN / m2	qa	2.000
	Sovraccarico permanente	daN / m2	qp	0
	Forza orizzontale in testa variabile (positivo tende lato monte)	daN / elemento	fv	0
	Forza orizzontale in testa eccezionale (positivo tende lato monte)	daN / elemento	fe	2.500
	Sovraccarico sulla fondazione a monte	daN / m2	q1	0
	Momento in testa variabile (positivo tende lato monte)	daNm / elemento	momv	0
	Momento in testa eccezionale (positivo tende lato monte)	daNm / elemento	mome	2.500
	Forza verticale in testa (positivo di compressione)	daN / elemento	N	0
	Braccio di N rispetto al paramento verticale (positivo verso nervature)	m	braccio	0,00
<b>1c) Dati sismici</b>				
	Classe d'Uso		SLV	III
	Vita Nominale	anni	Cu	1,5
	Periodo di Riferimento	anni	Vn	50
	Tempo di Ritorno	anni	Vr	75
	Accelerazione orizzontale massima su un sito rigido	[g]	Tr	712
	Categoria sottosuolo		ag(g)	0,142
	Categoria topografica			B
	Fattore di amplificazione stratigrafica		Ss	1,20
	Fattore di amplificazione topografica		St	1,00
<b>1d) Morfologia del muro</b>				
	Altezza del muro	m	h1	6,60
	Distanza tra il punto di ribaltamento e il baricentro dell'elemento prefabbricato	m	$X_c$	1,32
	Distanza tra il baricentro del pannello e la soletta	m		0,22
	Peso elemento prefabbricato	daN	P	6.550
	Angolo di inclinazione parete prefabbricato rispetto l'orizzontale	gradi	b	90
	Larghezza elemento prefabbricato	m	b1	2,50
	Dimensione appoggio muro	m	appoggio	1,32
	Altezza sezione in sommità (tratto a sezione costante)	m		0,30
	Pendenza nervatura	m	pendenza	20%
	Larghezza nervatura / e	m	s	0,36
	Spessore soletta	m	sol	0,10
<b>1e) Morfologia della fondazione</b>				
	Spessore massimo soletta di fondazione	m	h2	0,60
	Spessore minimo soletta di fondazione lato monte	m	h3	0,60
	Spessore minimo soletta di fondazione lato valle	m	h4	0,60
	Larghezza fondazione	m	l	4,60
	Dimensione sbalzo anteriore	m	sbalzo	1,10
	Larghezza suola fondazione a monte	m	l1	3,40
	Larghezza suola fuori nervatura	m	fo	2,30
	Larghezza sottofondazione	m	lf	0,00
	Altezza sottofondazione	m	hf	0,00
	Sbalzo a valle sottofondazione	m	sbf	0,00
<b>1f) Dati geotecnici terreno di fondazione</b>				
	Angolo di attrito interno	gradi	$\phi$	28
	Peso specifico	daN / m3	$\gamma$	1.800
	Coesione	daN / cm2	c	0
	Ricoprimento fondazione a valle	m	hr	0,70
<b>2) VERIFICHE FONDAZIONE</b>				
2a)	<b>Verifica a traslazione</b>	combinazione dimensionante	A1+M1	$k_T$ > 1,00 > 1,10
2b)	<b>Verifica a ribaltamento</b>	combinazione dimensionante	EQ	$k_R$ > 1,00
2c)	<b>Verifica a capacità portante</b>	combinazione dimensionante	A1+M1	$k_P$ > 1,40 $\sigma_{Tmax}$ daN / cm2



3a)	<b>Verifica fondazione di monte SLU (sezione d'incastro)</b>	$M_u / M_d$	Verifica soddisfatta
	<b>Verifica fondazione di monte SISMICO (sezione d'incastro)</b>	$M_u / M_d$	Verifica soddisfatta
3b)	<b>Verifica fondazione di valle SLU (sezione d'incastro)</b>	$M_u / M_d$	Verifica soddisfatta
	<b>Verifica fondazione di valle SISMICO (sezione d'incastro)</b>	$M_u / M_d$	Verifica soddisfatta
3c)	<b>Verifica fondazione di monte SLE RARA (sezione d'incastro)</b>	$\sigma_c$ [daN / cm <sup>2</sup> ] $\sigma_s$ [daN / cm <sup>2</sup> ]	< $\sigma_c$ lim 150 < $\sigma_s$ lim 3520
	<b>Verifica fondazione di monte SLE FREQUENTE (sezione d'incastro)</b>	Mcr [daNm]	> Me
	<b>Verifica fondazione di monte SLE QUASI PERMANENTE (sezione d'incastro)</b>	$\sigma_c$ [daN / cm <sup>2</sup> ] Mcr [daNm]	< $\sigma_c$ lim 112,5 > Me

**4 VERIFICHE PREFABBRICATO :**

4a) **Verifica prefabbricato**



Af'	4	Φ 12		
Af1	4	Φ 18		
Af2	4	Φ 20	L 2	5,10 m
Af3	4	Φ 16	L 3	3,46 m
Af4	4	Φ 16	L 4	1,83 m
Af5	0	Φ 0	L 5	0,00 m

SLU								STAFFE			
d	h	A <sub>t</sub>	A <sub>i</sub>	M <sub>S<sub>d</sub></sub>	N <sub>S<sub>d</sub></sub>	Ka	Mu	Mu/M <sub>S<sub>d</sub></sub>	Vrsd	Vrcd	Vsd
cm	cm	cm <sup>2</sup>	cm <sup>2</sup>	daN m	daN	daNm	>1,00	daN	daN	daN	daN
136	30	10,18	4,52	8363	1488	9749	1,17	10986	43720	6810	
164	32,7	12,57	4,52	10317	1786	13187	1,28	12169	48429	8016	
273	54,5	20,61	4,52	21808	2977	37988	1,74	21604	85980	13986	
436	87,3	28,65	4,52	53597	4763	87718	1,64	35757	142306	26381	
600	120,0	28,65	4,52	109007	6549	123733	1,14	49911	198632	42904	

SISMICO								STAFFE			
d	h	A <sub>t</sub>	A <sub>i</sub>	M <sub>S<sub>d</sub></sub>	N <sub>S<sub>d</sub></sub>	Ka	Mu	Mu/M <sub>S<sub>d</sub></sub>	Vrsd	Vrcd	Vsd
cm	cm	cm <sup>2</sup>	cm <sup>2</sup>	daN m	daN	daNm	>1,00	daN	daN	daN	daN
136	30	10,18	4,52	7462	1488	9749	1,31	10986	43720	5122	
164	32,7	12,57	4,52	8994	1786	13187	1,47	12169	48429	5951	
273	54,5	20,61	4,52	17842	2977	37988	2,13	21604	85980	10281	
436	87,3	28,65	4,52	42330	4763	87718	2,07	35757	142306	19822	
600	120,0	28,65	4,52	85601	6549	123733	1,45	49911	198632	33016	

SLE								FREQUENTE			RARA		
d	h	A <sub>t</sub>	A <sub>i</sub>	Mcr	arm	Me	ssm	wk	wk	σ <sub>c</sub>	σ <sub>s</sub>		
cm	cm	cm <sup>2</sup>	cm <sup>2</sup>	daN m	mm	daNm		mm	mm	daN/cm <sup>2</sup>	daN/cm <sup>2</sup>		
136	30	10,18	4,52	3417	-	1109	-	Mcr>Me	11	625			
164	32,7	12,57	4,52	4399	-	1746	-	Mcr>Me	13	713			
273	54,5	20,61	4,52	12842	0	6494	-	Mcr>Me	16	889			
436	87,3	28,65	4,52	30758	0	22942	-	Mcr>Me	22	1247			
600	120,0	28,65	4,52	49335	108	55319	0,00	0,08	31	2037			

QUASI PERMANENTE			
Me	ssm=cm	wk	σ <sub>c</sub>
daNm		mm	daN/cm <sup>2</sup>
871	-	Mcr>Me	6
1403	-	Mcr>Me	7
5542	-	Mcr>Me	10
20504	-	Mcr>Me	16
50709	0,00	0,06	24

4b)	<b>Verifica soletta nel piano orizzontale SLU</b>	10 Φ 6	$M_u / M_d$	1,26
	<b>Verifica soletta nel piano orizzontale SISMICO</b>		$M_u / M_d$	1,57
	<b>Verifica soletta nel piano orizzontale SLE RARA</b>	$\sigma_c$ [daN / cm <sup>2</sup> ] $\sigma_s$ [daN / cm <sup>2</sup> ]	61 2.255	< $\sigma_c$ lim 210 < $\sigma_s$ lim 3520
	<b>Verifica soletta nel piano orizzontale SLE FREQUENTE</b>	Mcr [daNm]	117	> Me 106
	<b>Verifica soletta nel piano orizzontale SLE QUASI PERMANENTE</b>	$\sigma_c$ [daN / cm <sup>2</sup> ] Mcr [daNm]	54 117	< $\sigma_c$ lim 157,5 > Me 103

## VERIFICHE DI STABILITA' GLOBALE MURO-TERRENO ( H=6.60m)

Quadro riassuntivo coeff. di sicurezza calcolati

*Simbologia adottata*

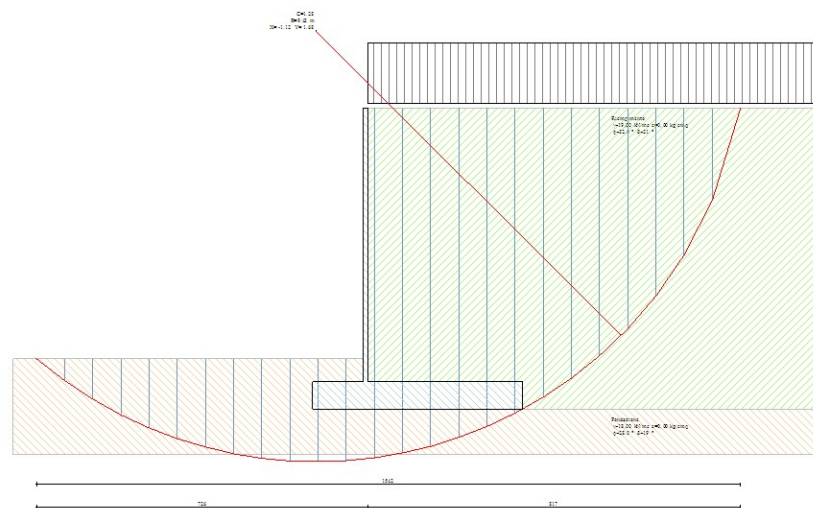
*C* Identificativo della combinazione

*Tipo* Tipo combinazione

*Sisma* Combinazione sismica

*CS<sub>STAB</sub>* Coeff. di sicurezza a stabilità globale

C	Tipo	Sisma	CS <sub>stab</sub>
4	STAB - [1]	--	1,28
11	STAB - [2]	Orizzontale + Verticale positivo	1,31
12	STAB - [2]	Orizzontale + Verticale negativo	1,31



Geometria muro e fondazione

Descrizione	Muro a mensola in c.a.
Altezza del paramento	6,00 [m]
Spessore in sommità	0,10 [m]
Spessore all'attacco con la fondazione	0,10 [m]
Inclinazione paramento esterno	0,00 [°]
Inclinazione paramento interno	0,00 [°]
Lunghezza del muro	2,50 [m]
Spessore rivestimento	0,30 [m]
Peso sp. rivestimento	25,0000 [kN/mc]

Fondazione

Lunghezza mensola fondazione di valle	1,10 [m]
Lunghezza mensola fondazione di monte	3,40 [m]
Lunghezza totale fondazione	4,60 [m]
Inclinazione piano di posa della fondazione	0,00 [°]
Spessore fondazione	0,60 [m]
Spessore magrone	0,20 [m]

Contrafforti

Altezza contrafforti	6,00 [m]
Spessore contrafforti	0,15 [m]
Larghezza in sommità	0,20 [m]
Larghezza alla base	1,10 [m]
Interasse contrafforti	1,50 [m]
Numero contrafforti	2
Posizione :	Monte
Disposizione :	Sfalsati

Materiali utilizzati per la struttura

*Calcestruzzo*

Peso specifico	24,517 [kN/mc]
Resistenza caratteristica a compressione $R_{bk}$	250,0 [kg/cm <sup>2</sup> ]

*Acciaio*

Tipo	FeB44K
------	--------

Geometria profilo terreno a monte del muro

*Simbologia adottata e sistema di riferimento*

(Sistema di riferimento con origine in testa al muro, ascissa X positiva verso monte, ordinata Y positiva verso l'alto)

N numero ordine del punto  
 X ascissa del punto espressa in [m]  
 Y ordinata del punto espressa in [m]  
 A inclinazione del tratto espressa in [°]

N	X	Y	A
1	10,00	0,00	0,00

Terreno a valle del muro

Inclinazione terreno a valle del muro rispetto all'orizzontale 0,00 [°]  
 Altezza del rinterro rispetto all'attacco fondaz.valle-paramento 0,50 [m]

Descrizione terreni

*Simbologia adottata*

<i>Nr.</i>	Indice del terreno
<i>Descrizione</i>	Descrizione terreno
$\gamma$	Peso di volume del terreno espresso in [kN/mc]
$\gamma_s$	Peso di volume saturo del terreno espresso in [kN/mc]
$\phi$	Angolo d'attrito interno espresso in [°]
$\delta$	Angolo d'attrito terra-muro espresso in [°]
$c$	Coesione espressa in [kg/cm <sup>2</sup> ]
$c_a$	Adesione terra-muro espressa in [kg/cm <sup>2</sup> ]

<b>Descrizione</b>	<b><math>\gamma</math></b>	<b><math>\gamma_s</math></b>	<b><math>\phi</math></b>	<b><math>\delta</math></b>	<b><math>c</math></b>	<b><math>c_a</math></b>
Riempimento	19,00	19,00	32.00	21.33	0,000	0,000
Fondazione	18,00	18,00	28.00	18.67	0,000	0,000

Stratigrafia

Terreno spingente: Riempimento  
 Terreno di fondazione: Fondazione

Stabilità globale muro + terreno

Combinazione n° 4

Le ascisse X sono considerate positive verso monte

Le ordinate Y sono considerate positive verso l'alto

Origine in testa al muro (spigolo contro terra)

$W$	peso della striscia espresso in [kN]
$\alpha$	angolo fra la base della striscia e l'orizzontale espresso in [°] (positivo antiorario)
$\phi$	angolo d'attrito del terreno lungo la base della striscia
$c$	coesione del terreno lungo la base della striscia espressa in [kg/cm <sup>2</sup> ]
$b$	larghezza della striscia espressa in [m]
$u$	pressione neutra lungo la base della striscia espressa in [kg/cm <sup>2</sup> ]

Metodo di Bishop

Numero di cerchi analizzati 36  
 Numero di strisce 25

Cerchio critico

Coordinate del centro X[m]= -1,12 Y[m]= 1,68

Raggio del cerchio  $R[m]= 9,43$   
 Ascissa a valle del cerchio  $Xi[m]= -7,26$   
 Ascissa a monte del cerchio  $Xs[m]= 8,17$   
 Larghezza della striscia  $dx[m]= 0,62$   
 Coefficiente di sicurezza  $C= 1.28$

Le strisce sono numerate da monte verso valle

Caratteristiche delle strisce

Striscia	W	$\alpha(^{\circ})$	$W\sin\alpha$	$b/\cos\alpha$	$\phi$	c	u
1	2851.02	73.12	2728.22	2.13	26.56	0.000	0.000
2	4781.46	62.72	4249.79	1.35	26.56	0.000	0.000
3	6029.81	55.34	4959.56	1.08	26.56	0.000	0.000
4	6989.83	49.17	5289.19	0.94	26.56	0.000	0.000
5	7769.15	43.71	5368.99	0.85	26.56	0.000	0.000
6	8417.31	38.72	5265.14	0.79	26.56	0.000	0.000
7	8962.16	34.06	5018.87	0.74	26.56	0.000	0.000
8	9476.80	29.64	4686.52	0.71	25.67	0.000	0.000
9	10000.87	25.41	4291.01	0.68	23.04	0.000	0.000
10	10304.52	21.32	3746.85	0.66	23.04	0.000	0.000
11	10551.03	17.35	3145.99	0.65	23.04	0.000	0.000
12	10744.51	13.46	2500.59	0.63	23.04	0.000	0.000
13	10887.93	9.63	1821.53	0.63	23.04	0.000	0.000
14	6171.01	5.85	628.63	0.62	23.04	0.000	0.000
15	2835.80	2.09	103.33	0.62	23.04	0.000	0.000
16	2653.15	-1.66	-76.92	0.62	23.04	0.000	0.000
17	2567.66	-5.42	-242.44	0.62	23.04	0.000	0.000
18	2477.97	-9.20	-396.11	0.62	23.04	0.000	0.000
19	2340.63	-13.02	-527.31	0.63	23.04	0.000	0.000
20	2153.72	-16.90	-626.13	0.64	23.04	0.000	0.000
21	1914.43	-20.86	-681.85	0.66	23.04	0.000	0.000
22	1618.86	-24.94	-682.54	0.68	23.04	0.000	0.000
23	1257.24	-29.15	-612.37	0.71	25.28	0.000	0.000
24	808.59	-33.54	-446.79	0.74	26.56	0.000	0.000
25	274.25	-38.17	-169.50	0.78	26.56	0.000	0.000

$\Sigma W_i= 1322,3467$  [kN]

$\Sigma W_i\sin\alpha_i= 483,8899$  [kN]

$\Sigma W_i\tan\phi_i= 602,4631$  [kN]

$\Sigma\tan\alpha_i\tan\phi_i= 4.45$



### Stabilità globale muro + terreno

#### Combinazione n° 11

Le ascisse X sono considerate positive verso monte

Le ordinate Y sono considerate positive verso l'alto

Origine in testa al muro (spigolo contro terra)

- W peso della striscia espresso in [kN]
- $\alpha$  angolo fra la base della striscia e l'orizzontale espresso in [°] (positivo antiorario)
- $\phi$  angolo d'attrito del terreno lungo la base della striscia
- c coesione del terreno lungo la base della striscia espressa in [kg/cm<sup>q</sup>]
- b larghezza della striscia espressa in [m]
- u pressione neutra lungo la base della striscia espressa in [kg/cm<sup>q</sup>]

#### Metodo di Bishop

Numero di cerchi analizzati 36

Numero di strisce 25

#### Cerchio critico

Coordinate del centro X[m]= -1,12 Y[m]= 2,24

Raggio del cerchio R[m]= 9,93

Ascissa a valle del cerchio Xi[m]= -7,36

Ascissa a monte del cerchio Xs[m]= 8,56

Larghezza della striscia dx[m]= 0,64

Coefficiente di sicurezza C= 1.31

Le strisce sono numerate da monte verso valle

#### Caratteristiche delle strisce

Striscia	W	$\alpha(^{\circ})$	Wsin $\alpha$	b/cos $\alpha$	$\phi$	c	u
1	1147.14	71.11	1085.35	1.97	26.56	0.000	0.000
2	3024.10	61.72	2663.26	1.34	26.56	0.000	0.000
3	4307.69	54.67	3514.24	1.10	26.56	0.000	0.000
4	5308.40	48.71	3988.37	0.96	26.56	0.000	0.000
5	6126.49	43.39	4208.92	0.88	26.56	0.000	0.000
6	6810.09	38.52	4240.98	0.81	26.56	0.000	0.000
7	7386.89	33.95	4125.84	0.77	26.56	0.000	0.000
8	7874.48	29.63	3892.71	0.73	26.56	0.000	0.000
9	8470.08	25.48	3643.59	0.71	23.44	0.000	0.000
10	8817.74	21.47	3227.37	0.68	23.04	0.000	0.000
11	9082.91	17.57	2741.72	0.67	23.04	0.000	0.000
12	9292.54	13.75	2208.88	0.66	23.04	0.000	0.000
13	9449.71	9.99	1640.08	0.65	23.04	0.000	0.000

14	7212.09	6.28	789.11	0.64	23.04	0.000	0.000
15	2844.98	2.59	128.80	0.64	23.04	0.000	0.000
16	2698.12	-1.08	-50.91	0.64	23.04	0.000	0.000
17	2582.71	-4.76	-214.39	0.64	23.04	0.000	0.000
18	2496.40	-8.46	-367.35	0.64	23.04	0.000	0.000
19	2360.67	-12.20	-498.81	0.65	23.04	0.000	0.000
20	2173.71	-15.99	-598.74	0.66	23.04	0.000	0.000
21	1932.87	-19.85	-656.40	0.68	23.04	0.000	0.000
22	1634.46	-23.81	-659.93	0.70	23.04	0.000	0.000
23	1267.88	-27.90	-593.27	0.72	25.55	0.000	0.000
24	814.22	-32.15	-433.25	0.75	26.56	0.000	0.000
25	275.89	-36.61	-164.52	0.79	26.56	0.000	0.000

$$\Sigma W_i = 1131,6296 \text{ [kN]}$$

$$\Sigma W_i \sin \alpha_i = 371,3018 \text{ [kN]}$$

$$\Sigma W_i \tan \phi_i = 514,1792 \text{ [kN]}$$

$$\Sigma \tan \alpha_i \tan \phi_i = 4.31$$

Stabilità globale muro + terreno

Combinazione n° 12

Le ascisse X sono considerate positive verso monte

Le ordinate Y sono considerate positive verso l'alto

Origine in testa al muro (spigolo contro terra)

W peso della striscia espresso in [kN]

$\alpha$  angolo fra la base della striscia e l'orizzontale espresso in [°] (positivo antiorario)

$\phi$  angolo d'attrito del terreno lungo la base della striscia

c coesione del terreno lungo la base della striscia espressa in [kg/cm<sup>2</sup>]

b larghezza della striscia espressa in [m]

u pressione neutra lungo la base della striscia espressa in [kg/cm<sup>2</sup>]

Metodo di Bishop

Numero di cerchi analizzati 36

Numero di strisce 25

Cerchio critico

Coordinate del centro X[m]= -1,12 Y[m]= 2,24

Raggio del cerchio R[m]= 9,93

Ascissa a valle del cerchio Xi[m]= -7,36

Ascissa a monte del cerchio Xs[m]= 8,56

Larghezza della striscia dx[m]= 0,64

Coefficiente di sicurezza  $C = 1.31$

Le strisce sono numerate da monte verso valle

Caratteristiche delle strisce

Striscia	W	$\alpha(^{\circ})$	$W\sin\alpha$	$b/\cos\alpha$	$\phi$	c	u
1	1147.14	71.11	1085.35	1.97	26.56	0.000	0.000
2	3024.10	61.72	2663.26	1.34	26.56	0.000	0.000
3	4307.69	54.67	3514.24	1.10	26.56	0.000	0.000
4	5308.40	48.71	3988.37	0.96	26.56	0.000	0.000
5	6126.49	43.39	4208.92	0.88	26.56	0.000	0.000
6	6810.09	38.52	4240.98	0.81	26.56	0.000	0.000
7	7386.89	33.95	4125.84	0.77	26.56	0.000	0.000
8	7874.48	29.63	3892.71	0.73	26.56	0.000	0.000
9	8470.08	25.48	3643.59	0.71	23.44	0.000	0.000
10	8817.74	21.47	3227.37	0.68	23.04	0.000	0.000
11	9082.91	17.57	2741.72	0.67	23.04	0.000	0.000
12	9292.54	13.75	2208.88	0.66	23.04	0.000	0.000
13	9449.71	9.99	1640.08	0.65	23.04	0.000	0.000
14	7212.09	6.28	789.11	0.64	23.04	0.000	0.000
15	2844.98	2.59	128.80	0.64	23.04	0.000	0.000
16	2698.12	-1.08	-50.91	0.64	23.04	0.000	0.000
17	2582.71	-4.76	-214.39	0.64	23.04	0.000	0.000
18	2496.40	-8.46	-367.35	0.64	23.04	0.000	0.000
19	2360.67	-12.20	-498.81	0.65	23.04	0.000	0.000
20	2173.71	-15.99	-598.74	0.66	23.04	0.000	0.000
21	1932.87	-19.85	-656.40	0.68	23.04	0.000	0.000
22	1634.46	-23.81	-659.93	0.70	23.04	0.000	0.000
23	1267.88	-27.90	-593.27	0.72	25.55	0.000	0.000
24	814.22	-32.15	-433.25	0.75	26.56	0.000	0.000
25	275.89	-36.61	-164.52	0.79	26.56	0.000	0.000

$$\Sigma W_i = 1131,6296 \text{ [kN]}$$

$$\Sigma W_i \sin \alpha_i = 371,3018 \text{ [kN]}$$

$$\Sigma W_i \tan \phi_i = 514,1792 \text{ [kN]}$$

$$\Sigma \tan \alpha_i \tan \phi_i = 4.31$$